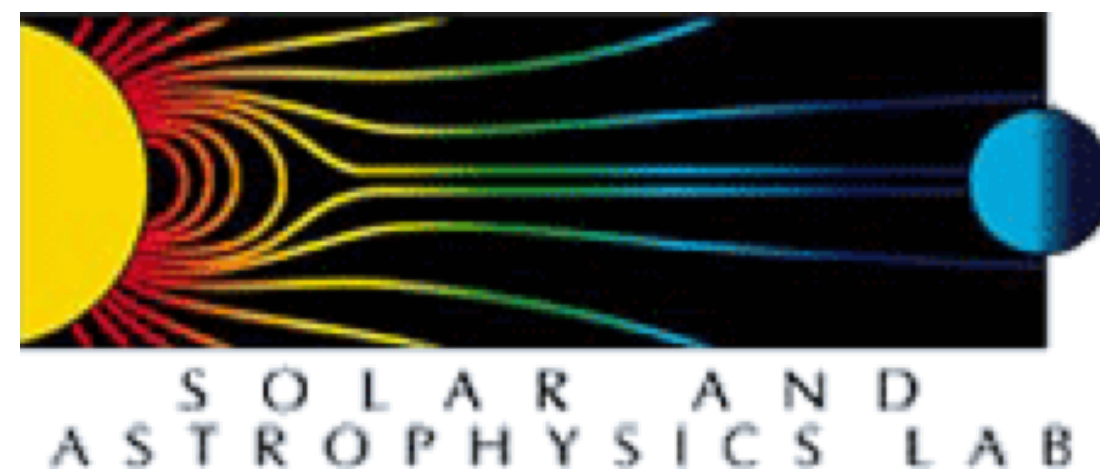


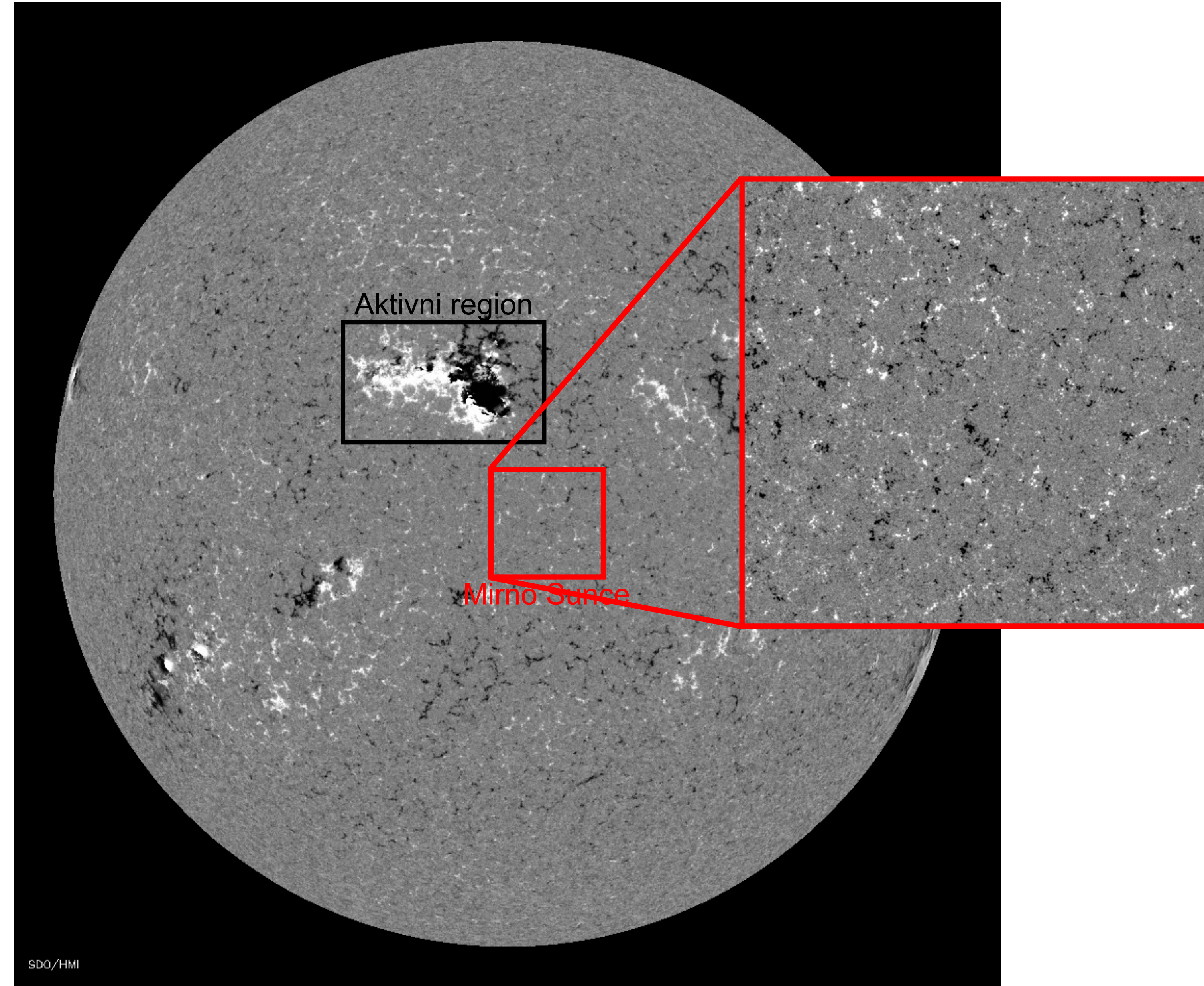
# Evolucija magnetnog polja na mirnom Suncu

Seminar Katedre za astronomiju, Beograd, April 2022

Milan Gošić

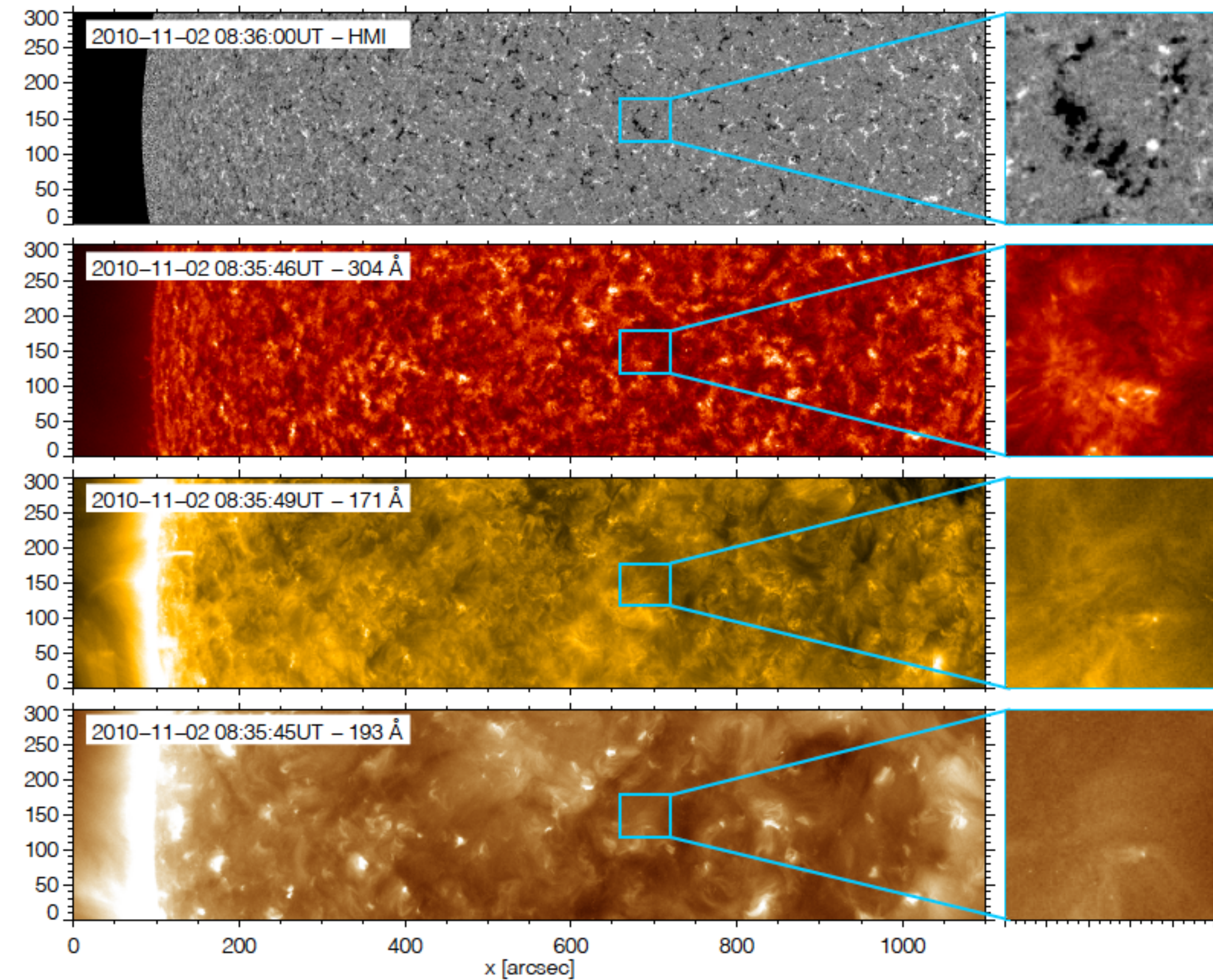


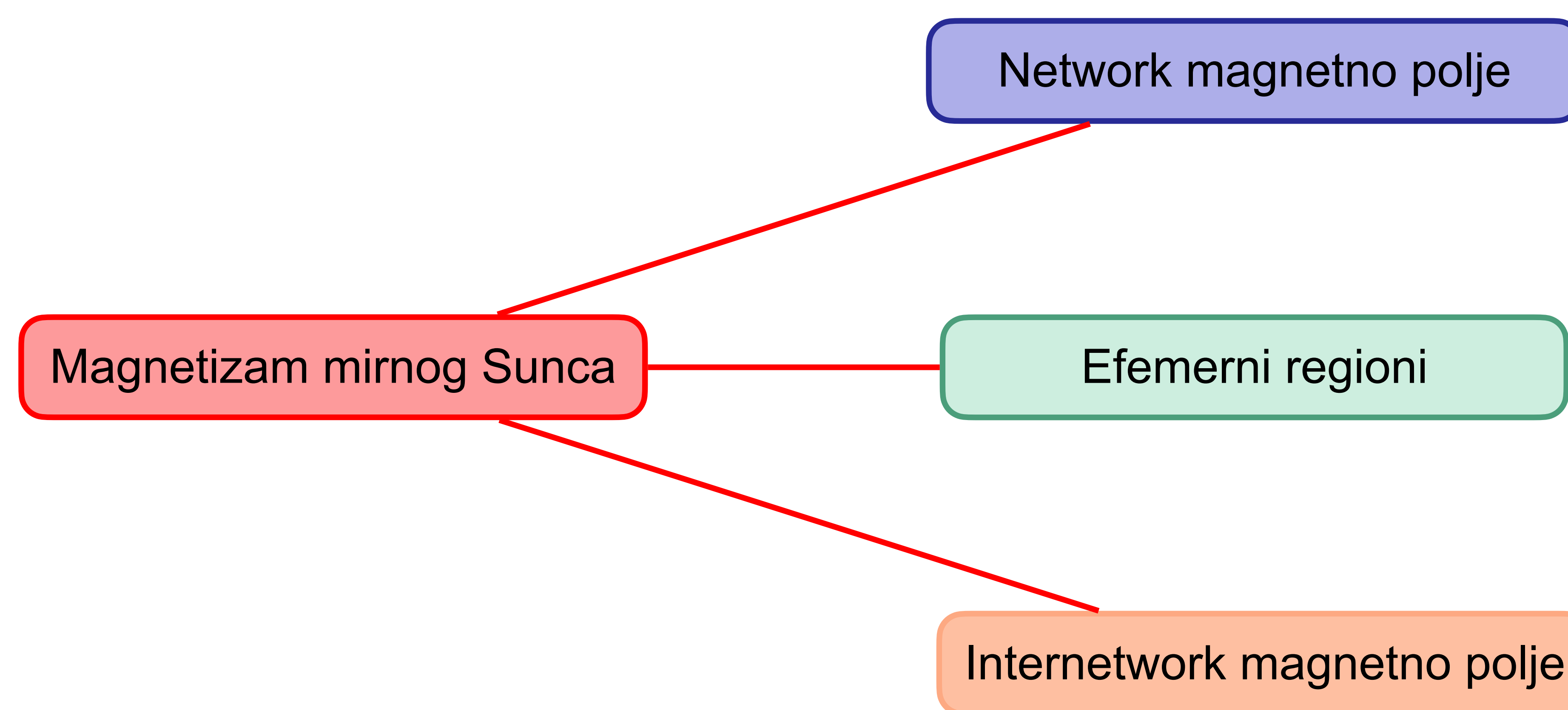
# Mirno Sunce



SDO/HMI

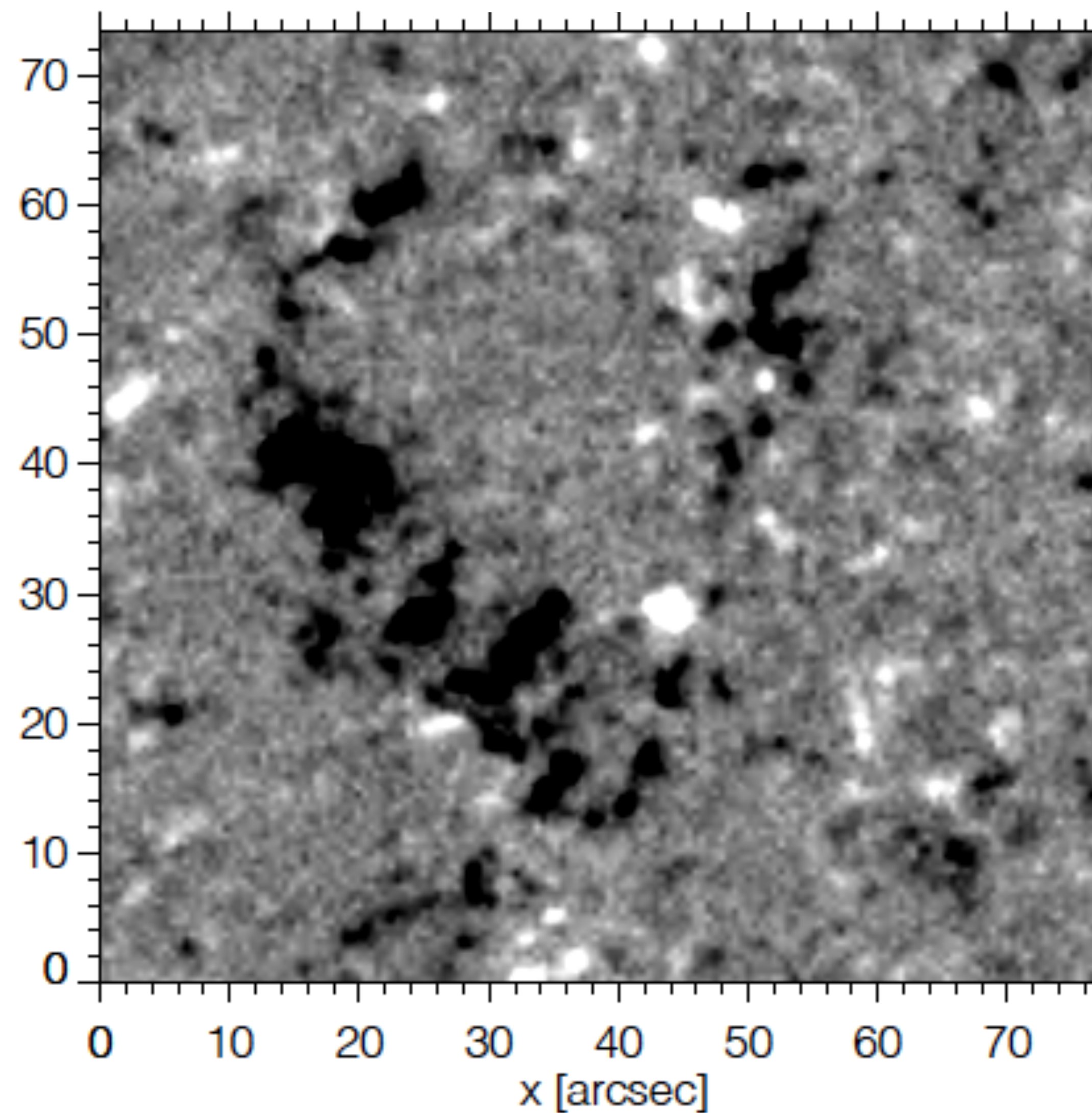
## Tipična supergranula na mirnom Suncu



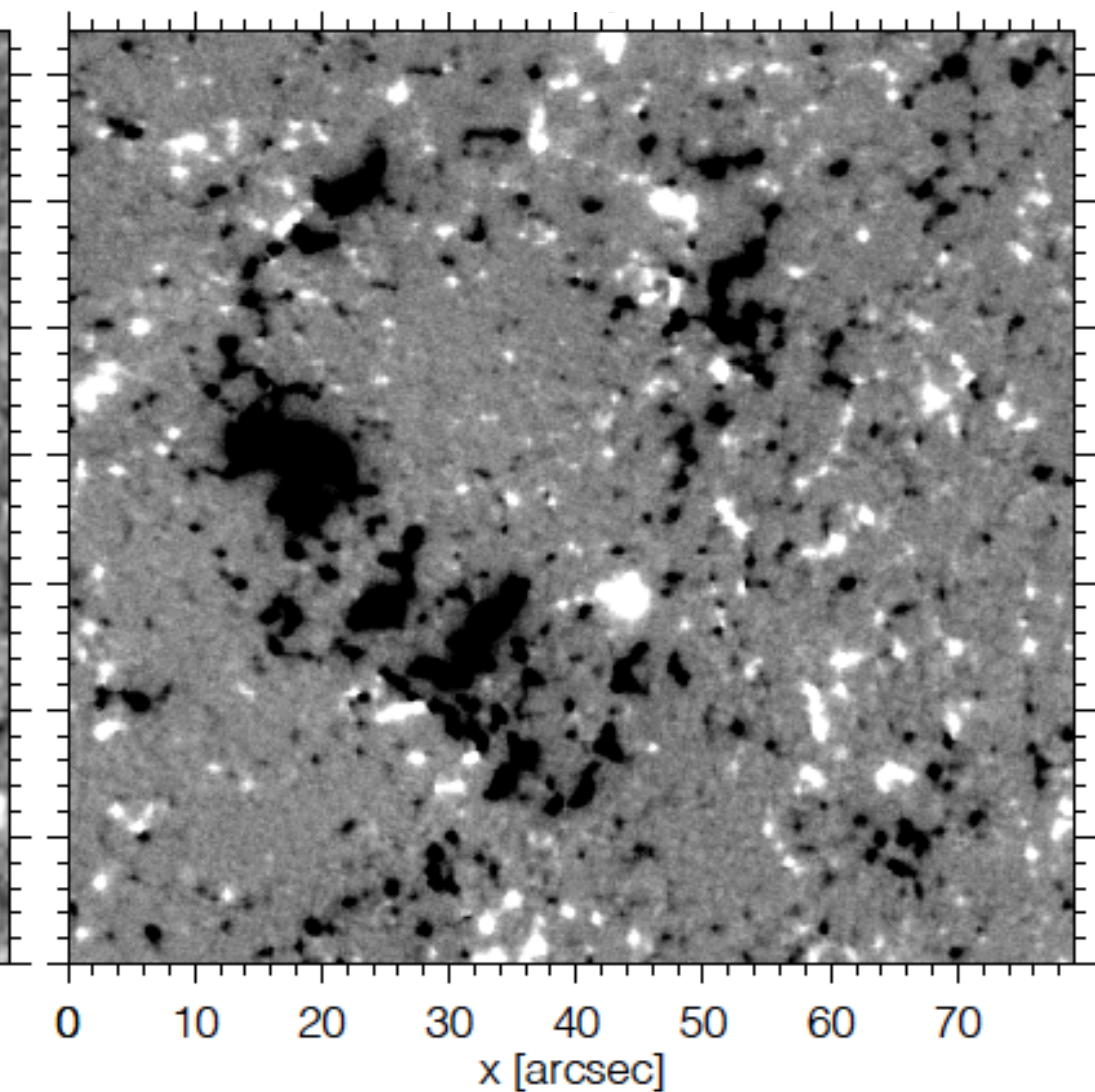


# Mirno Sunce

SDO/HMI 720s



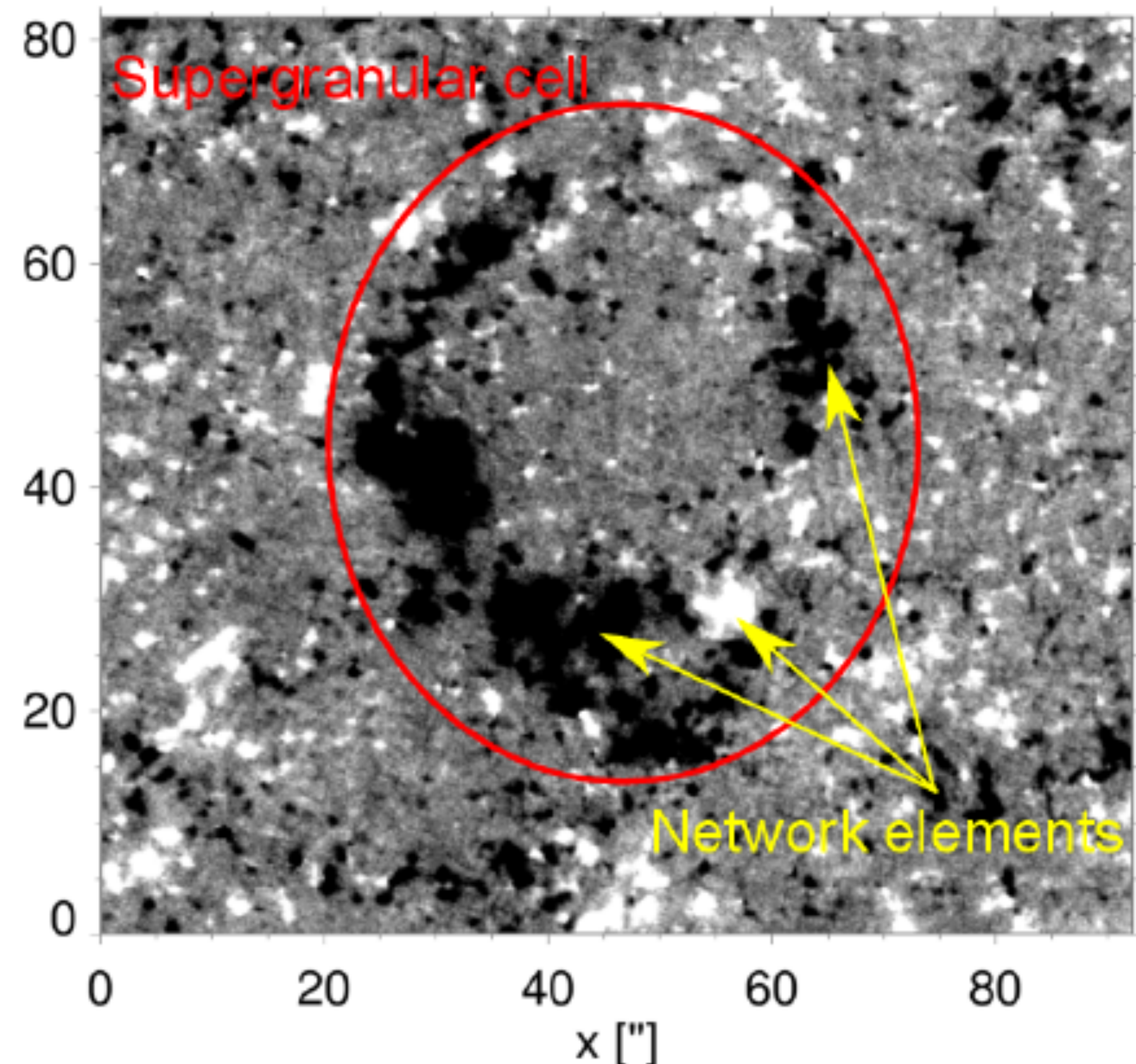
Hinode/NFI



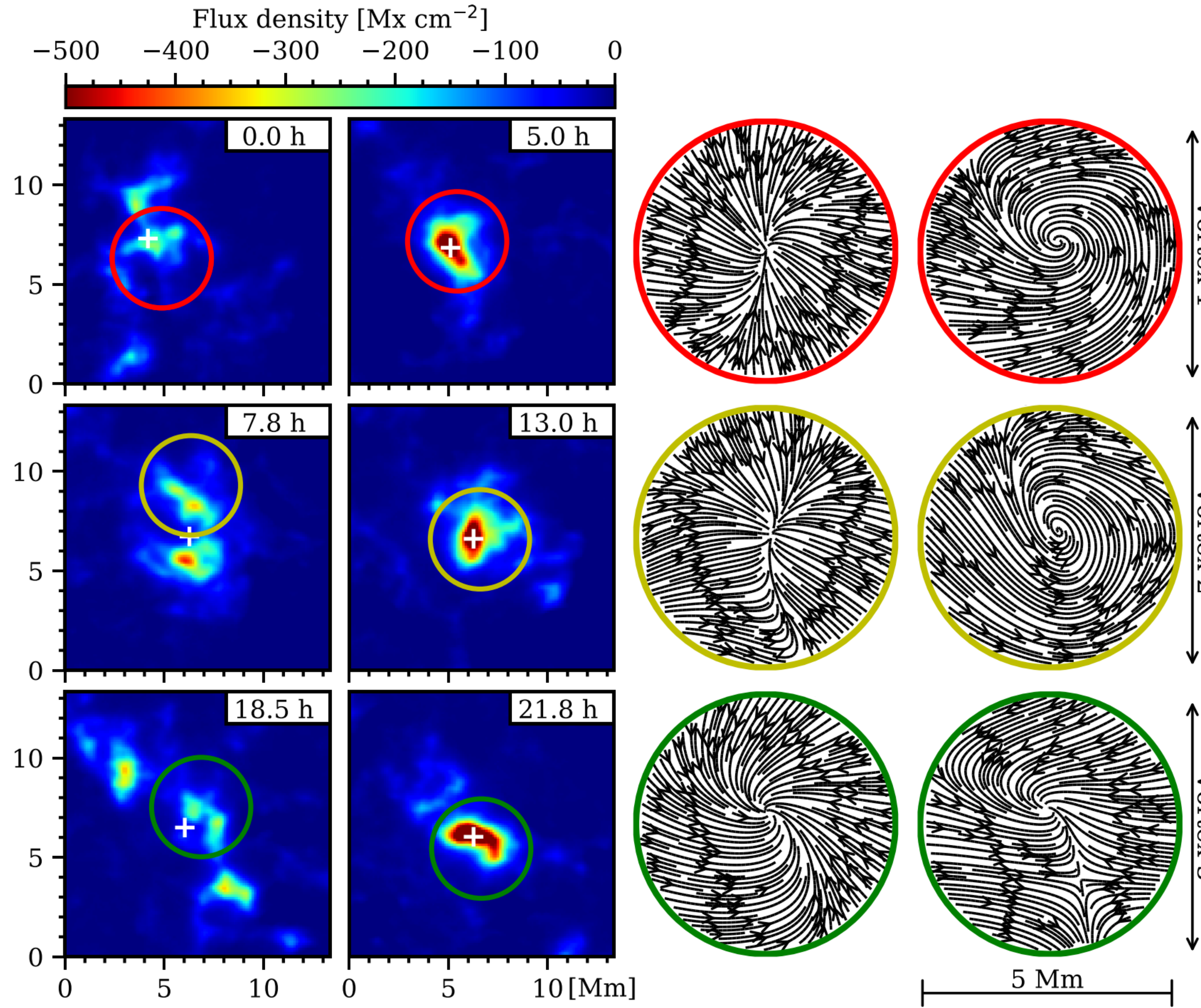
"Internetwork" magnetna polja su praktično nevidljiva na SDO/HMI magnetogramima.

# Network magnetna polja

- Nalaze se na granicama supergranularnih čelija (Leighton et al. 1962)
- U formi su cevi/tuba magnetnog fluksa sa jačinom magnetnog polja preko 1 kG (e. g. Martínez González et al. 2012)
- Uzimajući u obzir celu površinu Sunca, ukupan apsolutni flux je  $10^{23}$ - $10^{24}$  Mx, što je uporedivo sa ukupnim fluksom u aktivnim regionima (Schrijver & Harvey 1994, Hagenaar et al. 1998)



# Network magnetna polja

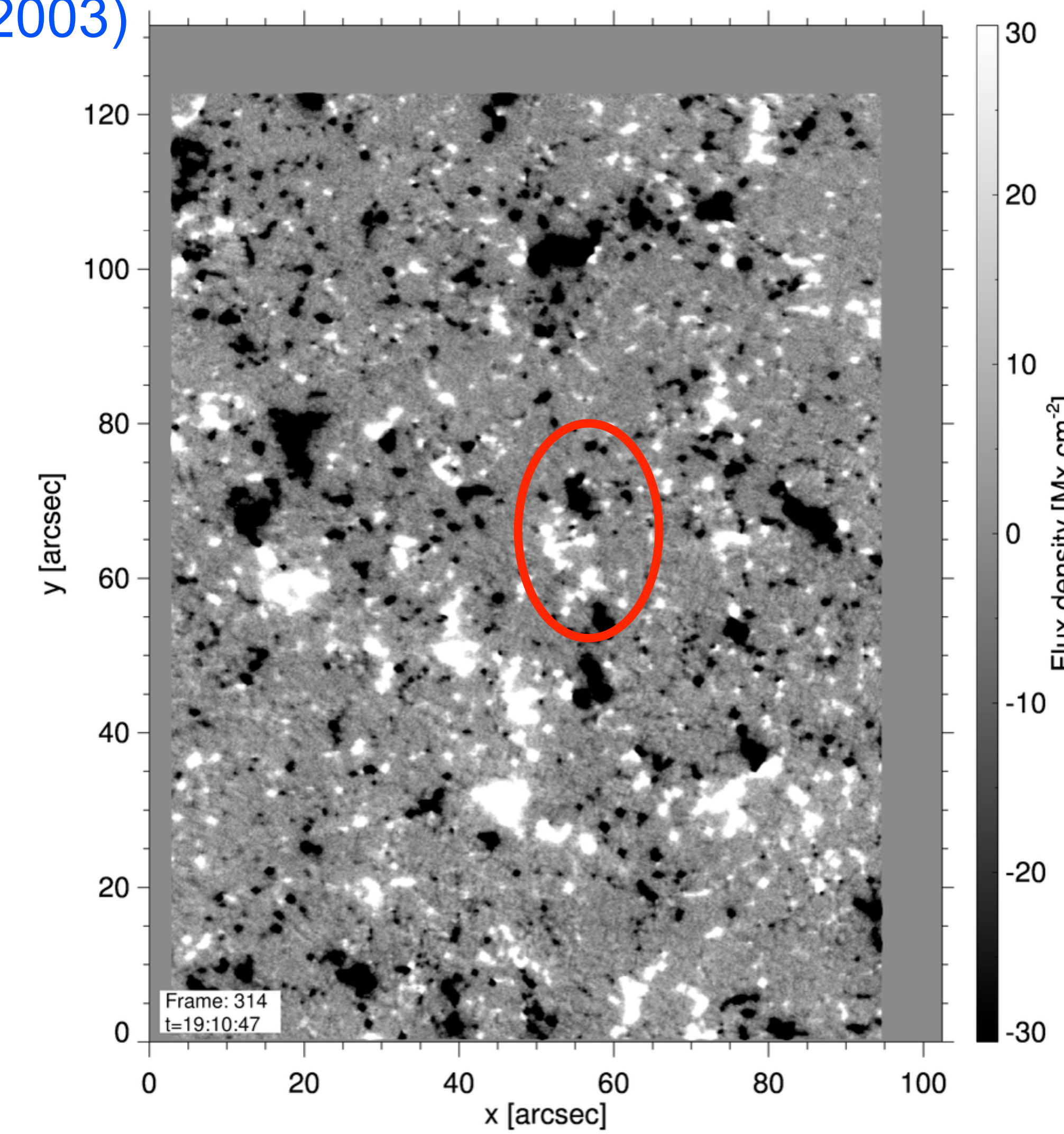
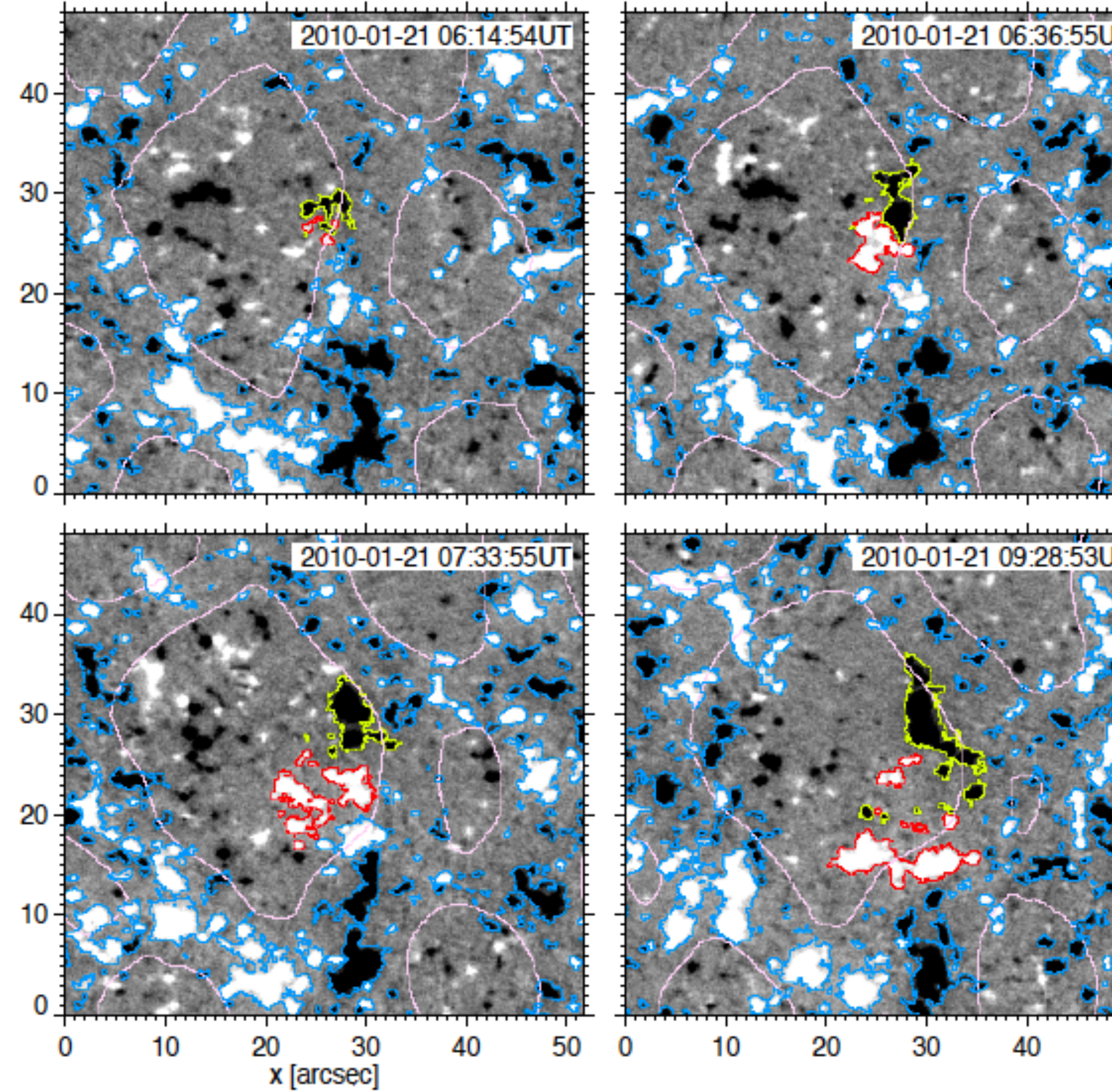


- Magnetni fluks je koncentrisan i evakuisan vrtlozima. Kada vrtlozi nestanu, magnetni elementi oslabe i fragmentuju se.
- Fotosferski magnetni vrtlozi mogu predstavljati efikasan mehanizam za kanalisanje energije iz donjih u više slojeve atmosfere.

(Requerey et al. 2018)

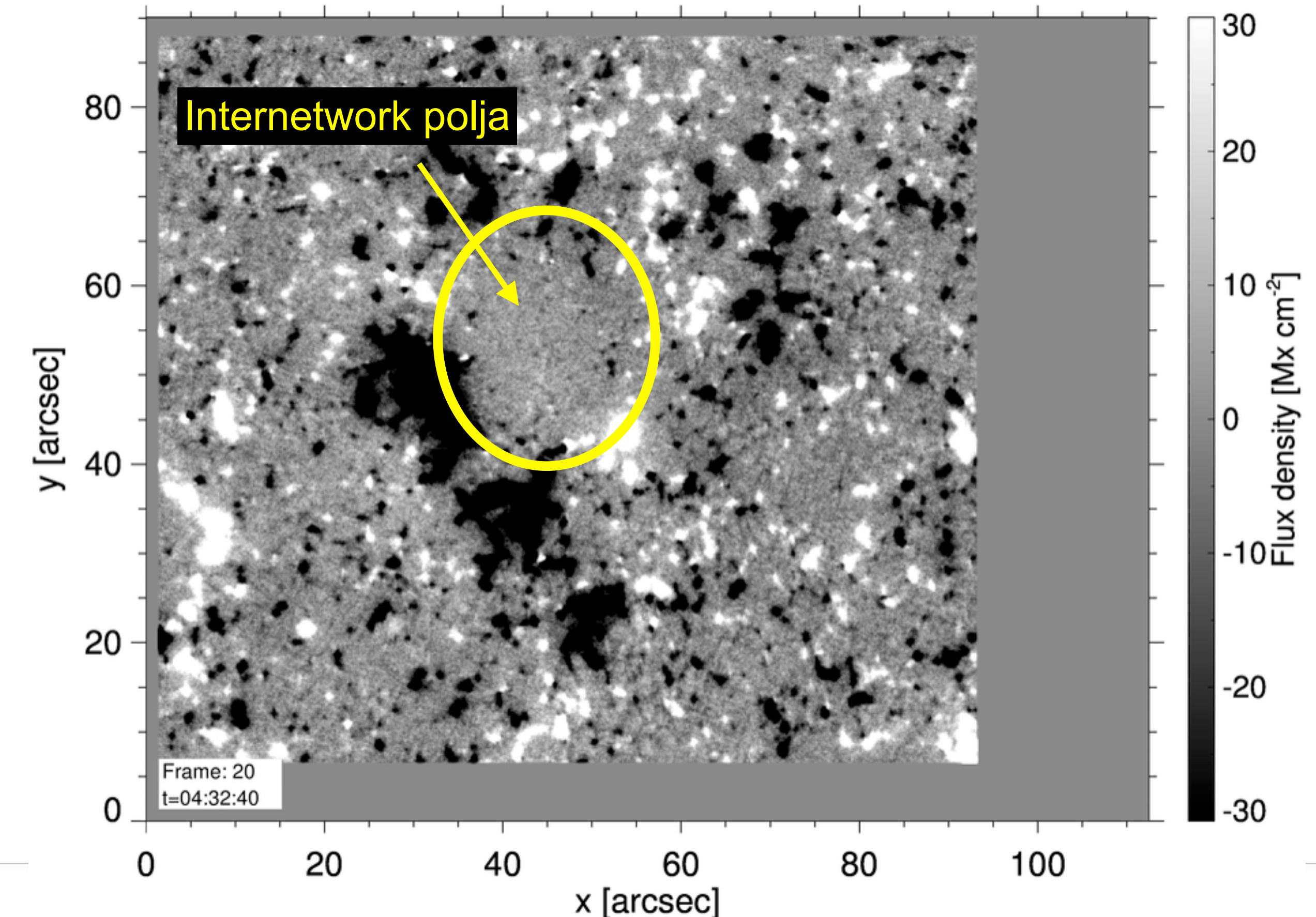
# Efemerni regioni

- Bipolarne magnetne strukture (Harvey & Martin 1973)
- Životni vek je 3-4 sata (Hagenaar 2001)
- Količina ukupnog fluksa je  $10^{18}$ - $5 \times 10^{19}$  Mx (Hagenaar et al. 2003)



# Internetwork fields

- Nalaze se unutar supergranula (Leighton et al. 1962)
- Na površini Sunca ostaju kao koherentne strukture po samo nekoliko minuta (Zhou et al 2013)
- Tipična veličina internetwork elemenata je 1 arcsec (Livingston and Harvey 1975; Zirin 1985, 1987, Wang 1988, Wang et al. 1995, Zhou et al. 2010)
- Pojedinačno, internetwork elementi nose ukupan magnetni fluks od oko  $10^{16}$  -  $10^{18}$  Mx (Livingston and Harvey 1975; Zirin 1985, Wang et al. 1995, Zhou et al. 2010)



## Zašto proučavamo ove oblasti?

Do 50% fluksa mirnog Sunca je u formi IN elemenata ([Wang et al. 1995](#))

Internetwork polja su važna jer se pojavljuju svuda na Suncu i samo relativno mali deo bi bio dovoljan da nadomesti gubitke energije u spoljašnjoj atmosferi Sunca. ([Trujillo Bueno et al. 2004](#))

# Otvorena pitanja

Značaj IN polja za magnetizam miring Sunca

Evolucija IN polja

Interakcija između IN and NE elemenata

Stopa pojavljivanja i nestajanja IN fluksa sa površine Sunca

Pojava bipolarnih i unipolarnih IN polja

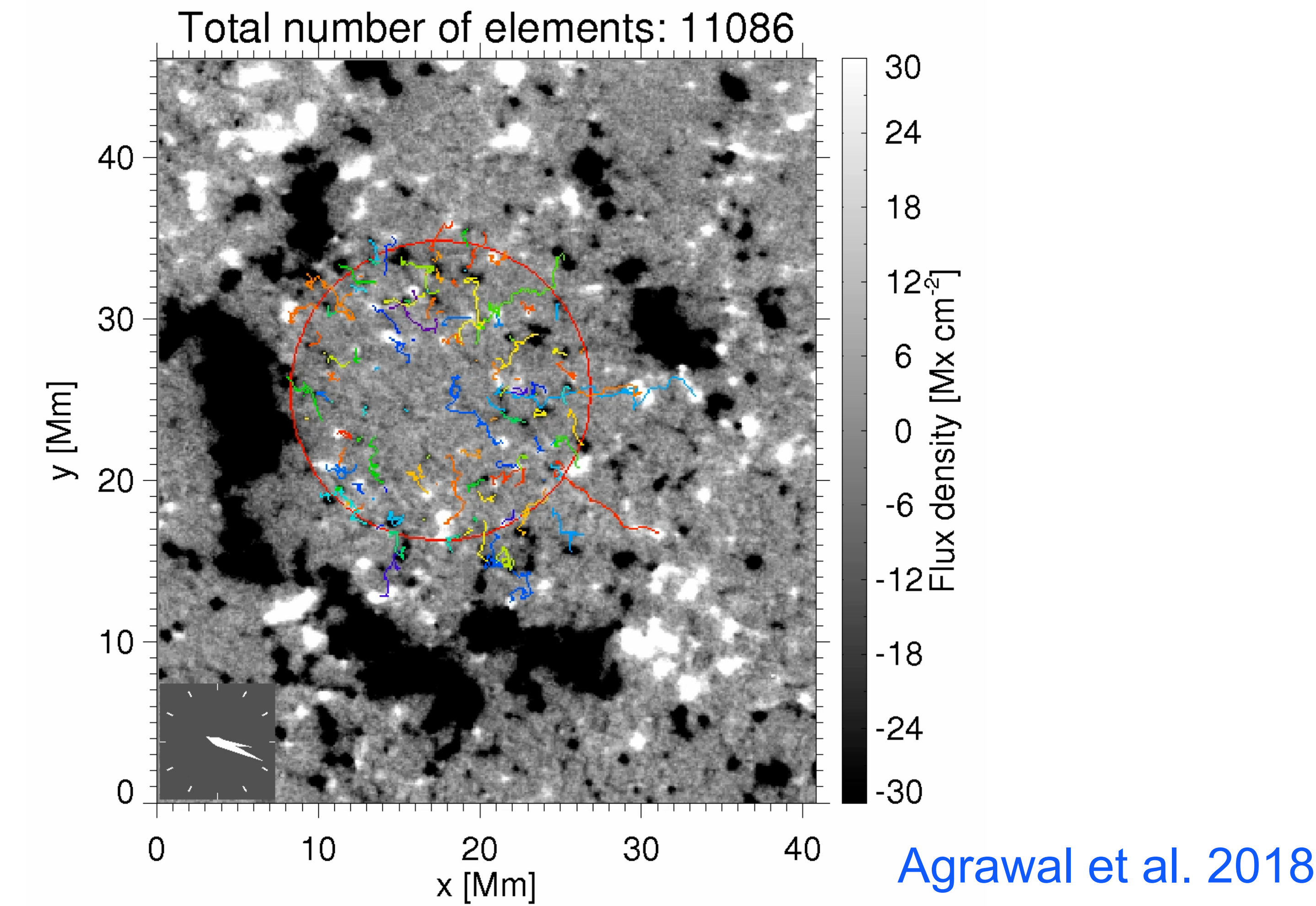
Zagravanje atmosfere Sunca

# Evolucija internetwork magnetnih polja

Prostorno-vremenska evolucija IN polja

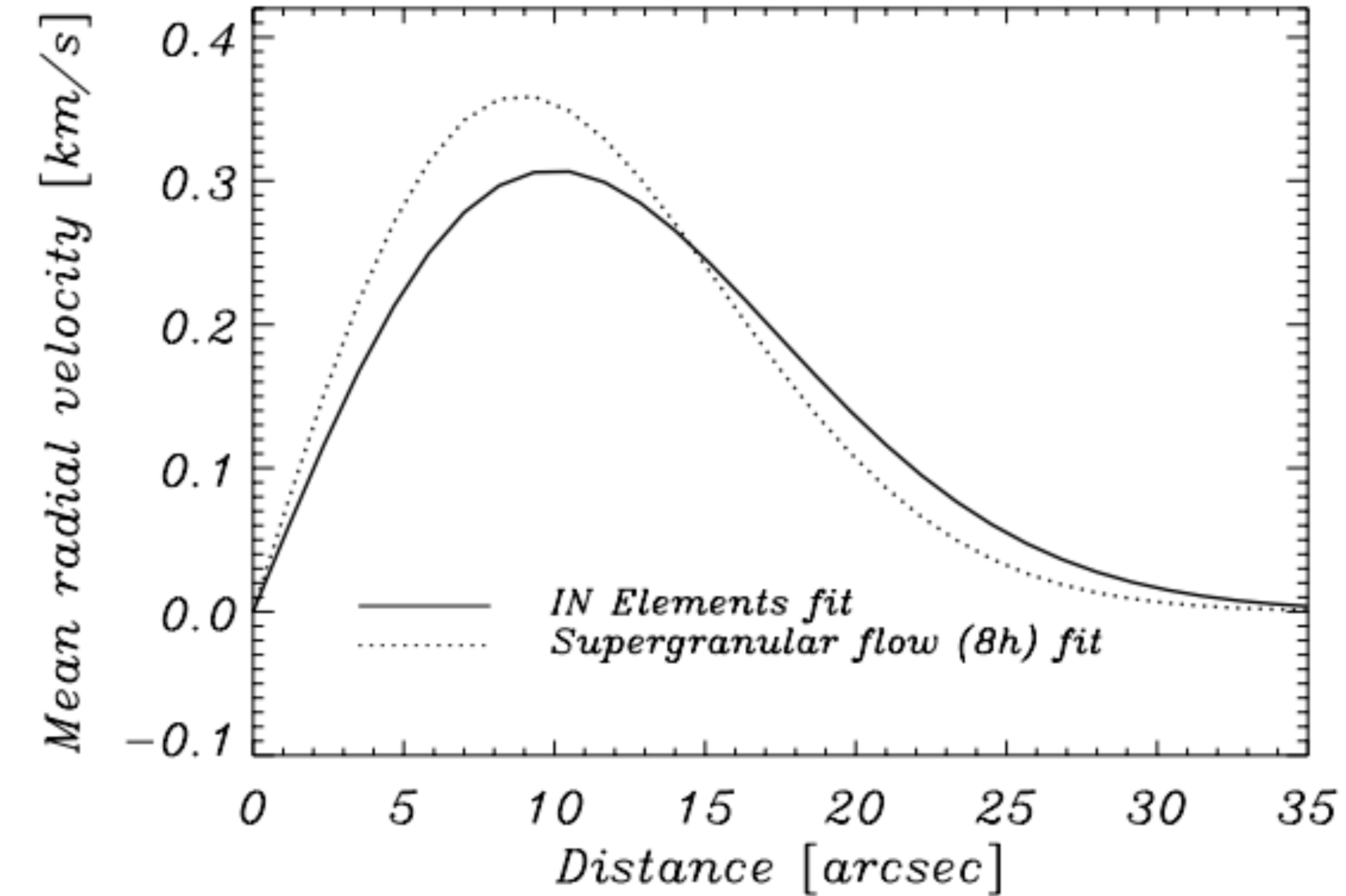
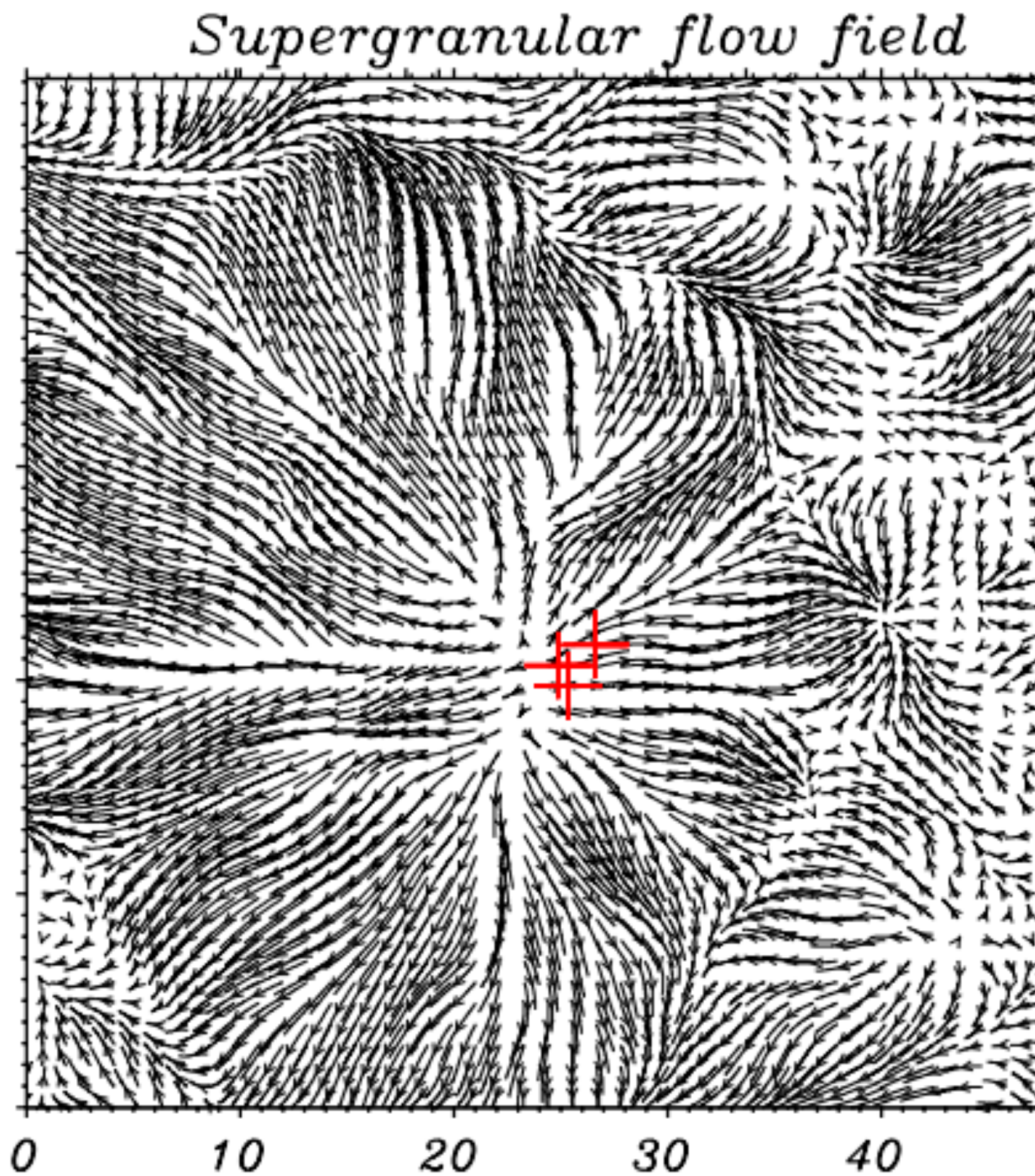
# Evolucija internetwork magnetnih polja

- Kretanje magnetnih elemenata je rezultat superdifuznog kretanja (nasumičnog pomeranje centra mase magnetnih elemenata), granularne advekciјe na kratkim vremenskim skalama i advekciјe supergranulacijom na dugim vremenskim skalama ([Abramenko et al. 2011](#), [Manso Sainz et al. 2011](#), [Chitta et al. 2012](#), [Giannattasio et al. 2014ab](#), [Jafarzadeh et al. 2014](#), [Agrawal et al. 2018](#), [Giannattasio et al. 2019](#))



# Evolucija internetwork magnetnih polja

- Internetwork elementi se transportuju ka network-u supergranularnim i granularnim konvektivnim kretanjima



Orozco Suárez et al. (2012)

Interakcija IN i NE magnetnih elemenata

# Interakcija internetwork elemenata

- Ranije se verovalo, na osnovu SoHO/MDI posmatranja, da su efemerni regioni glavni izvor fluksa za NE elemente ([Hagenaar et al. 2003, 2008](#))
- Efemerni regioni mogu u potpunosti da zamene NE fluks za 40 sati ([Schrijver et al. 2003, 2008](#))

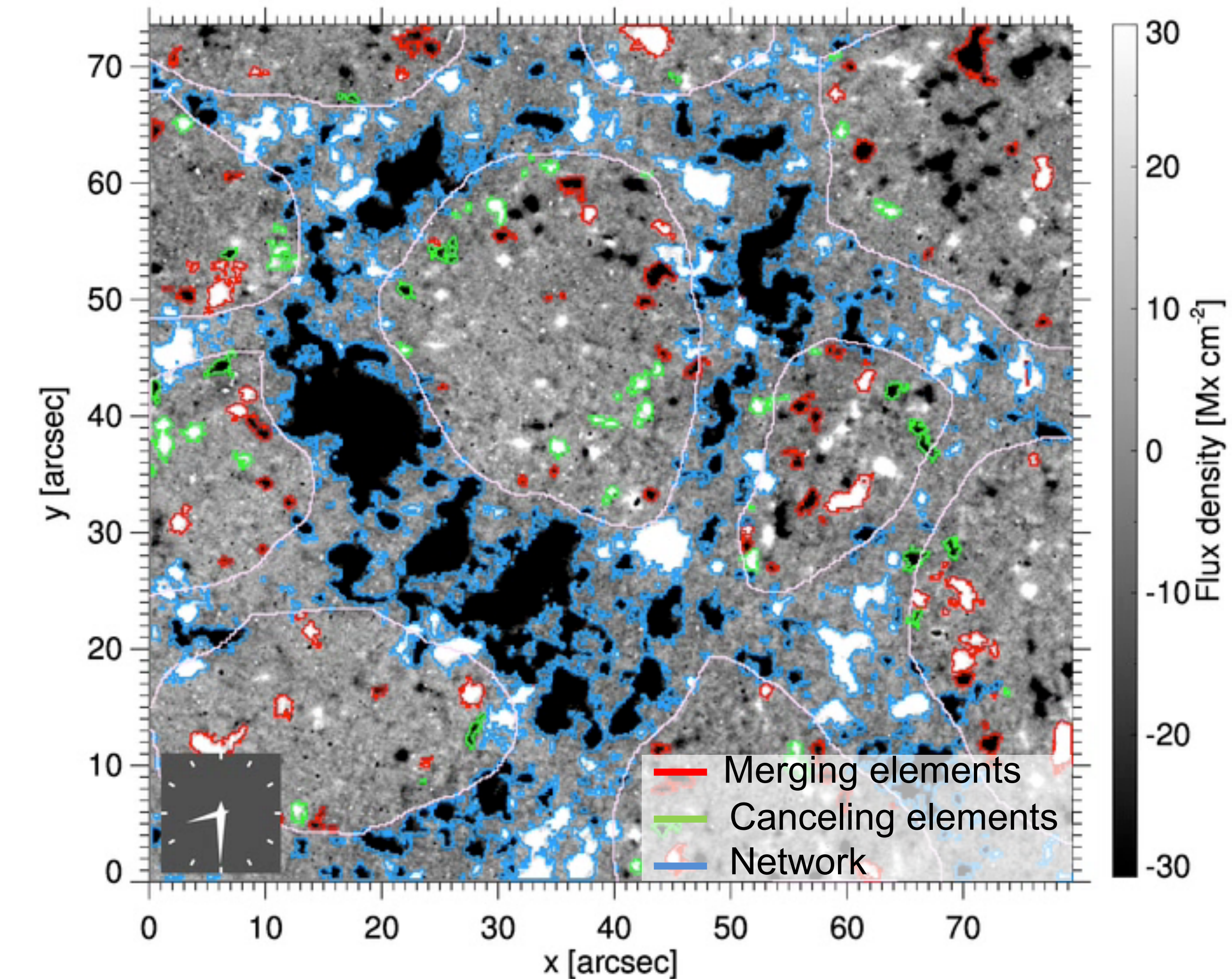
Problem: MDI ne vidi internetwork polja

- Interakcija izmedju IN i NE polja bi trebalo da bude moguća na skalamama koje nisu dostupne MDI-u ([Lamb et al. 2008](#))
- Hinode/NFI je mogao da posmatra Sunce neprekidno jedan do dva dana sa osetljivošću od samo 4G/pixel.

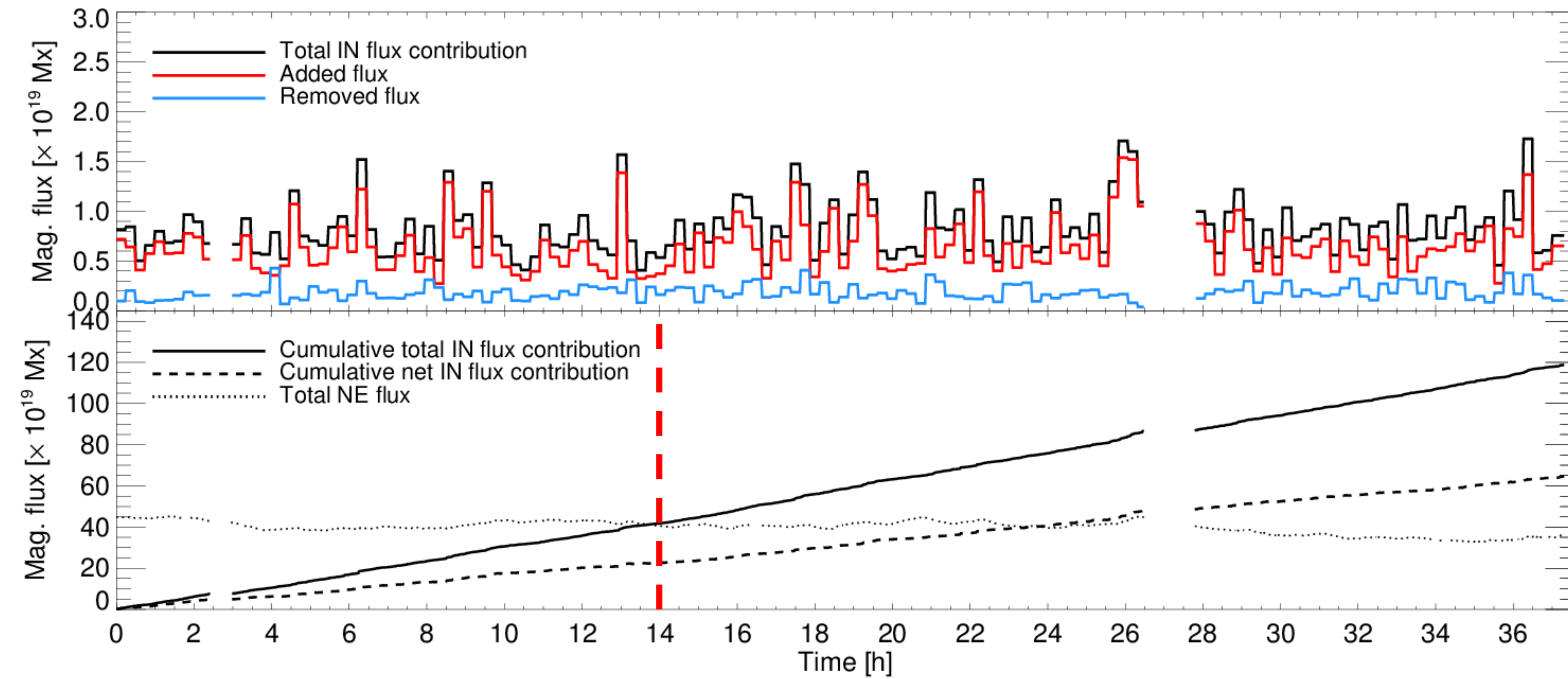
Doprinos IN polja NE strukturama

# Interakcija internetwork elemenata

- Internetwork elementi doprinose NE fluksu kroz dva procesa:
  - spajanjem sa NE elementima: fluks je dodat NE-u
  - potiranjem sa NE elementima: fluks je uklonjen iz NE-a



# Interakcija internetwork elemenata



- IN elementi doprinose sa  $1.6 \times 10^{24}$  Mx day<sup>-1</sup> NE elementima (na celoj površini Sunca)
- IN regioni mogu da obezbede dovoljnu količinu fluksa za održavanje NE elemenata za samo **~14 sati**.

Promena paradigme: IN elementi su glavni izvor fluksa za NE, i generalno na mirnom Suncu

# Pojavljivanje i nestajanje internetwork elemenata

Pojavljivanje/nestajanje IN polja na/sa površine Sunca

# Pojavljivanje i nestajanje internetwork elemenata

- Internetwork elementi se pojavljuju na površini Sunca:

in-situ

- Internetwork elementi nestaju:

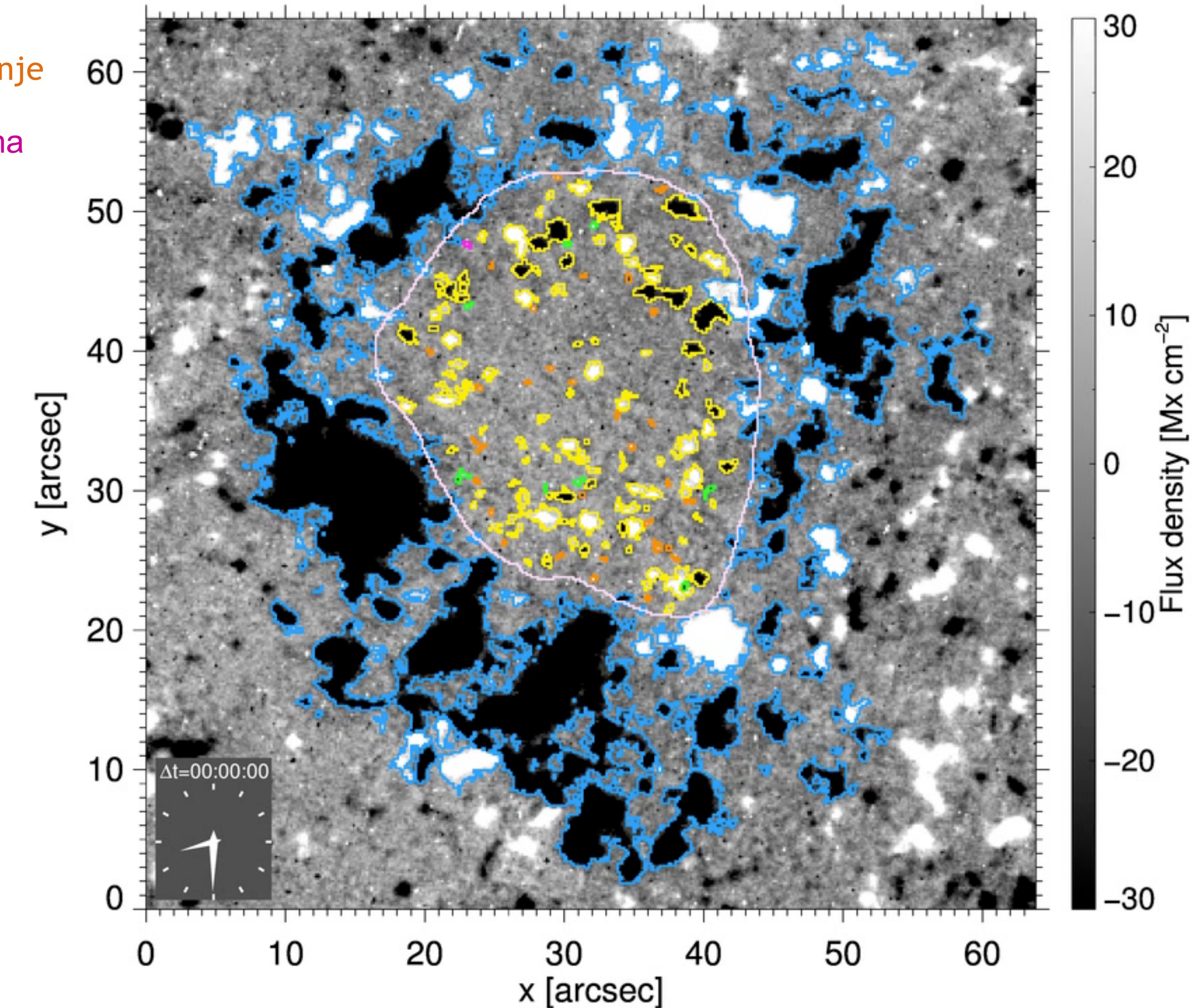
iščezavanjem

potiranjem

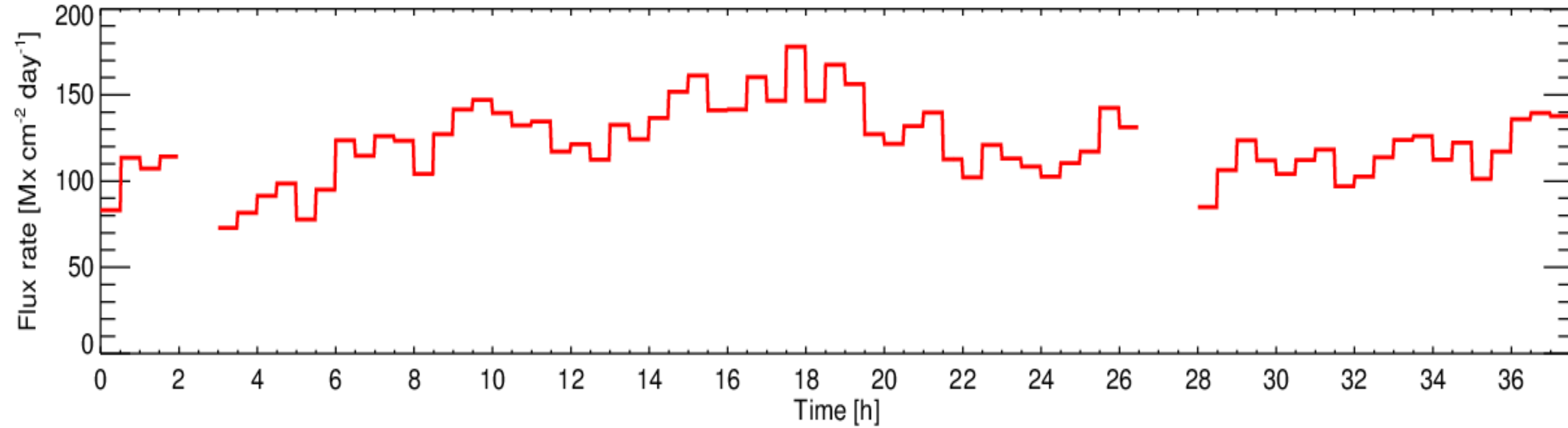
transferom fluksa u NE regije

# Pojavljivanje i nestajanje internetwork elemenata

In-situ pojavljivanje  
In-situ nestajanje/iščezavanje  
Potiranje  
Interakcija sa NE elementima

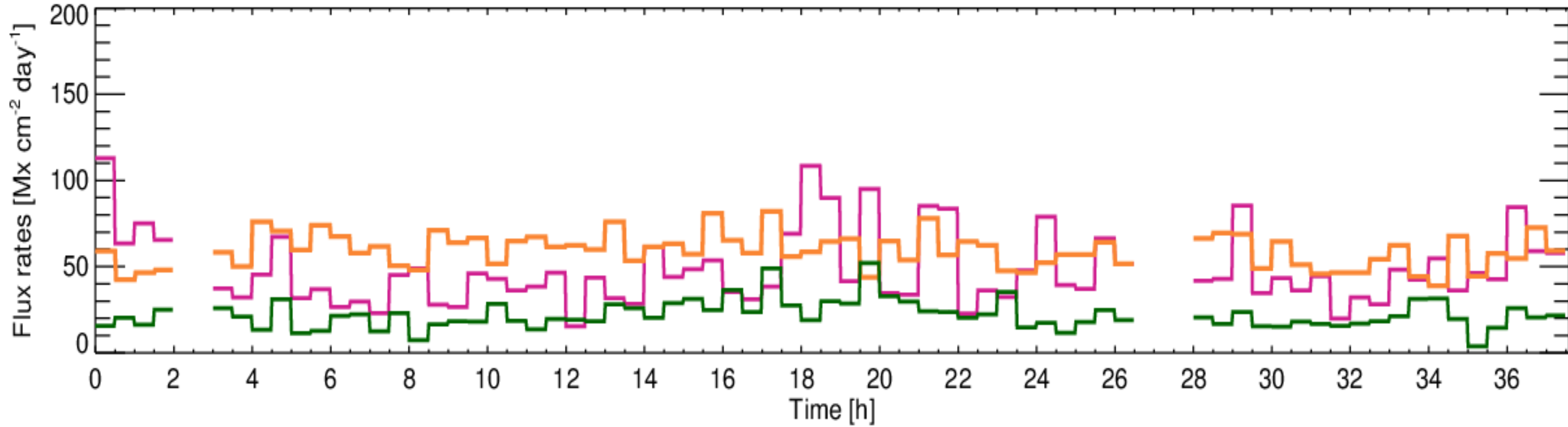


# Pojavljivanje i nestajanje internetwork elemenata



- In-situ pojavljivanje se odigrava stopom od  $120 \pm 3 \text{ Mx cm}^{-2} \text{ day}^{-1}$
- Stopa pojavljivanja fluksa u aktivnim regionima je  $1 \text{ Mx cm}^{-2} \text{ day}^{-1}$  (Thornton & Parnell 2010).

# Pojavljivanje i nestajanje internetwork elemenata



- Stopa iščezavanja:  $53 \pm 7 \text{ Mx cm}^{-2} \text{ day}^{-1}$
- Stopa potiranja:  $23 \pm 3 \text{ Mx cm}^{-2} \text{ day}^{-1}$
- Transfer fluksa u NE regije:  $50 \pm 3 \text{ Mx cm}^{-2} \text{ day}^{-1}$

# Pojavljivanje i nestajanje internetwork elemenata

- Stope pojavljivanja i nestajanja IN fluksa su u balansu.

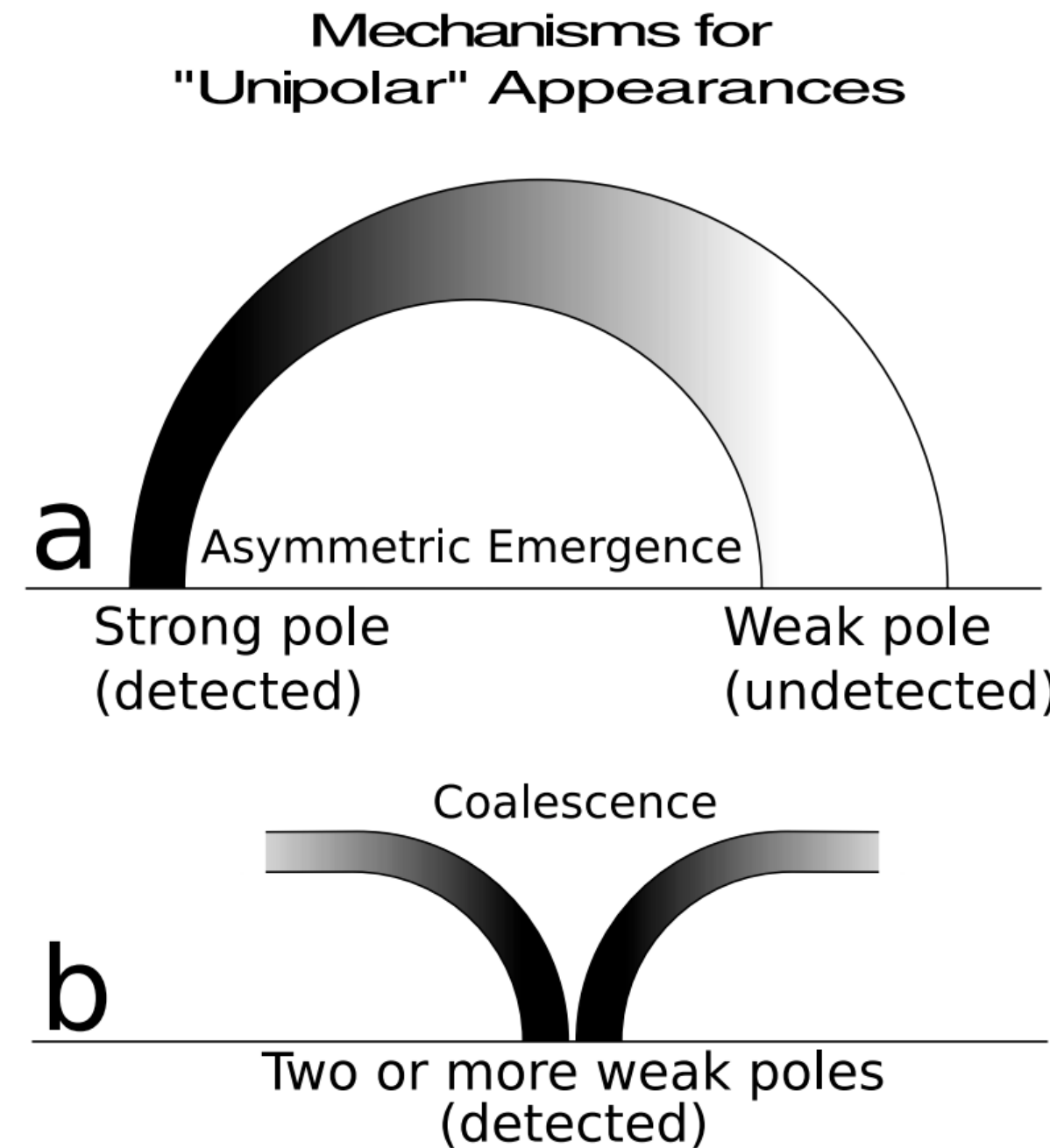
	Set 1	Set 2	Prosek
Pojavljivanje			
In-situ	117	122	$120 \pm 3$
Nestajanje			
Iščezavanje	46	59	$53 \pm 3$
Potiranje	20	25	$23 \pm 3$
Transfer fluksa	53	47	$50 \pm 3$
Ukupno	119	131	$125 \pm 6$

# Bipolarna i unipolarna internetwork magnetna polja

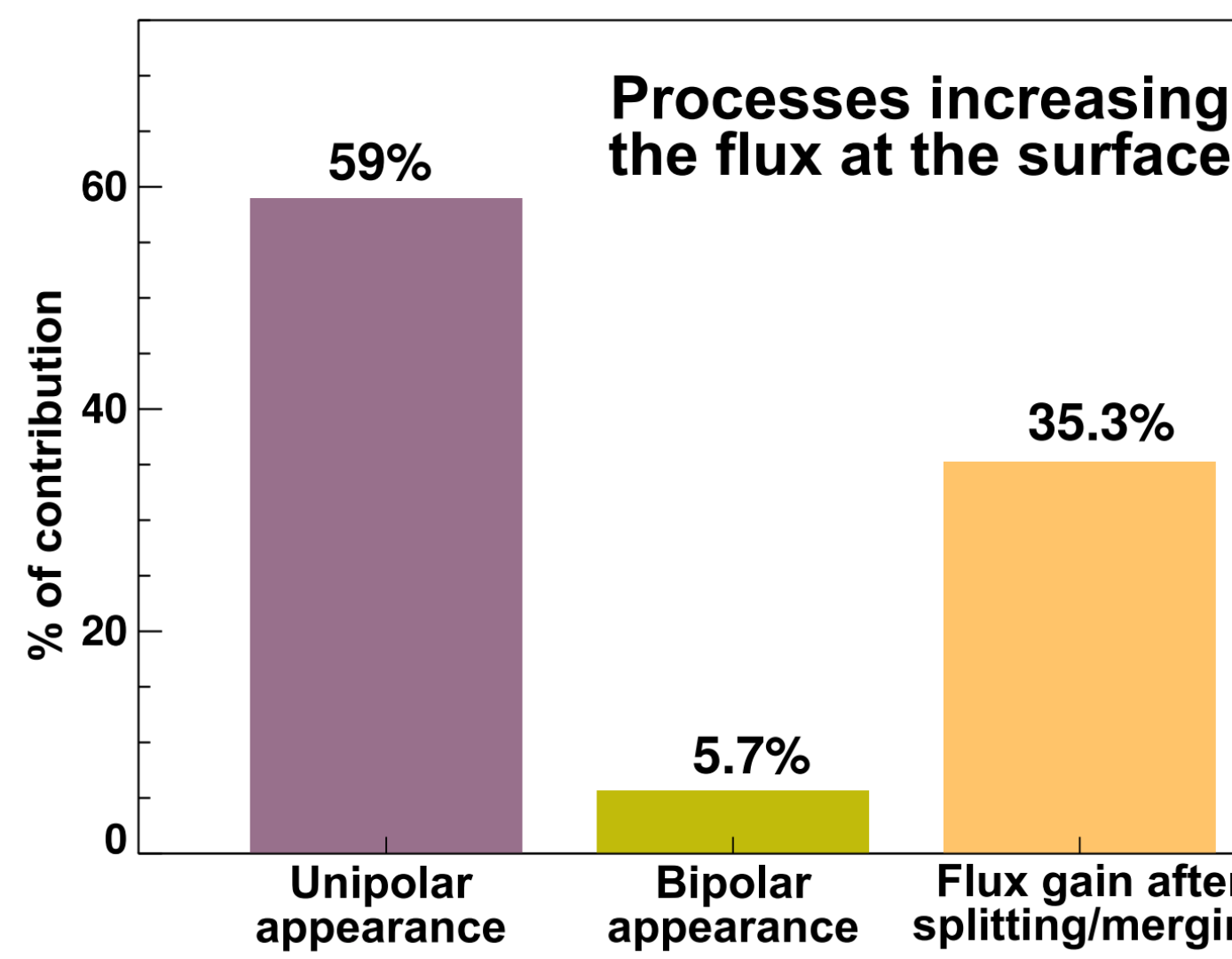
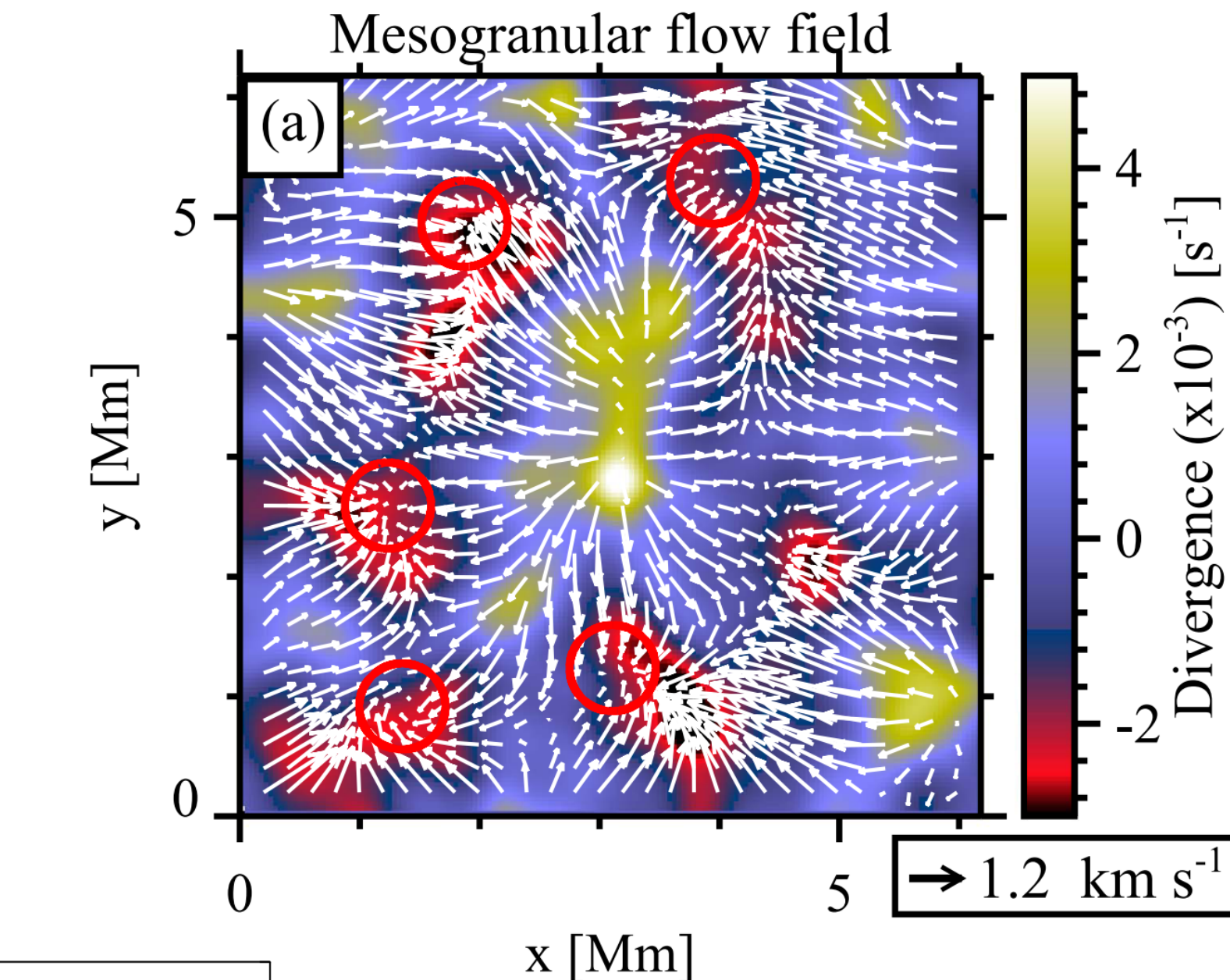
Pojavljivanje bipolarnih i unipolarnih IN  
magnetičnih struktura

# Bipolarna i unipolarna internetwork magnetna polja

Lamb et al. 2008

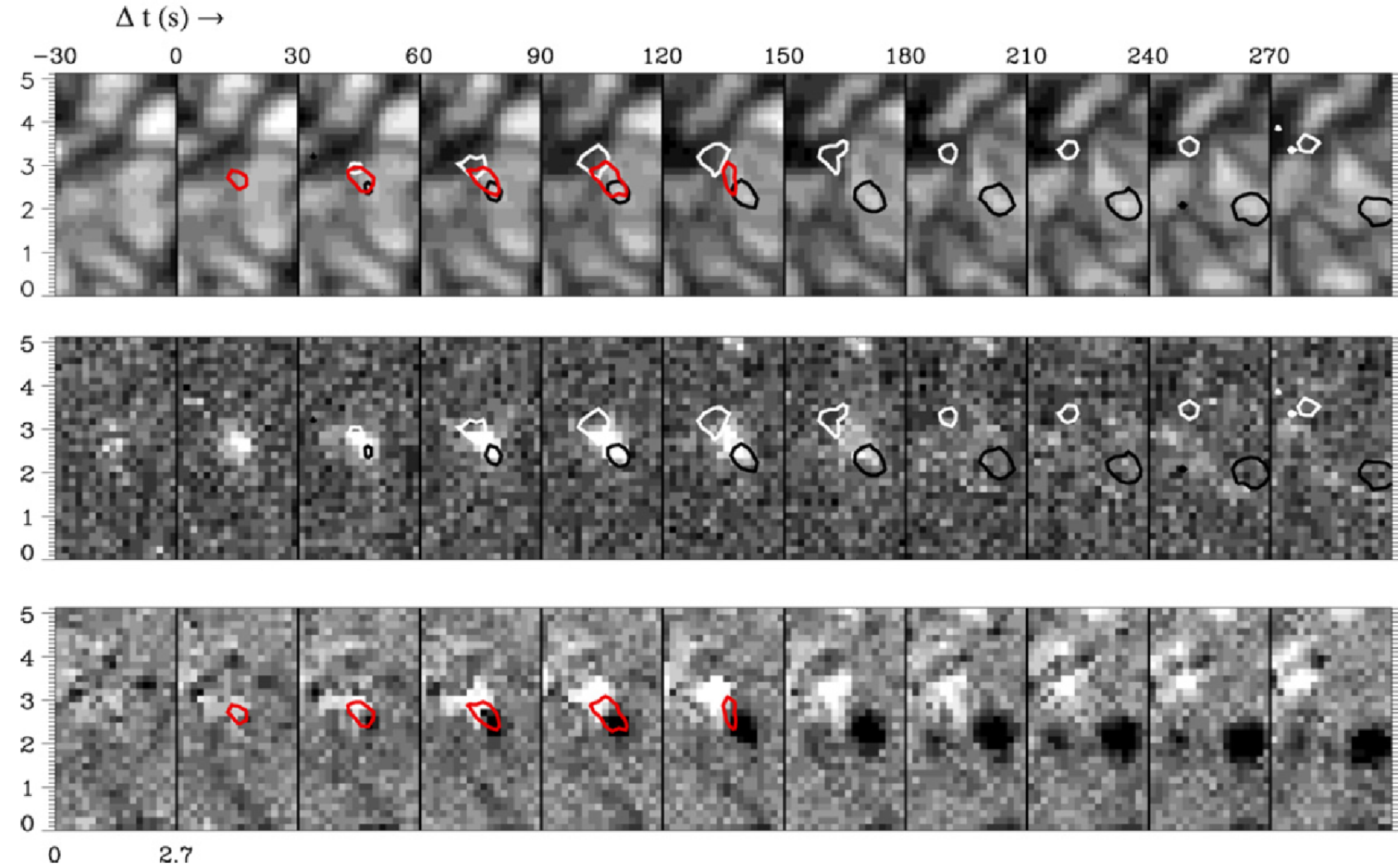


Requerey et al. 2017



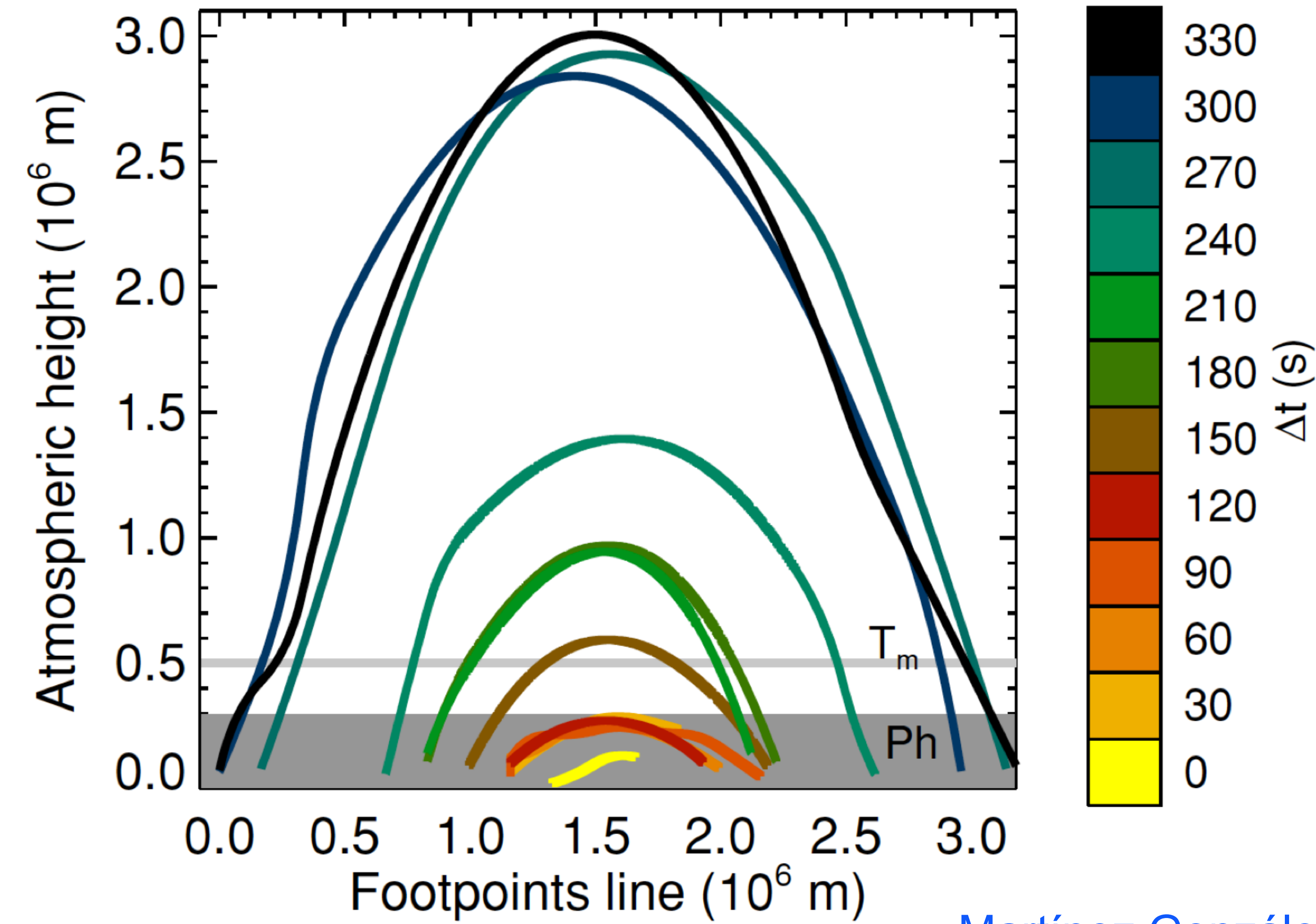
Smitha et al. 2017  
Anusha et al 2017

# Bipolarna i unipolarna internetwork magnetna polja



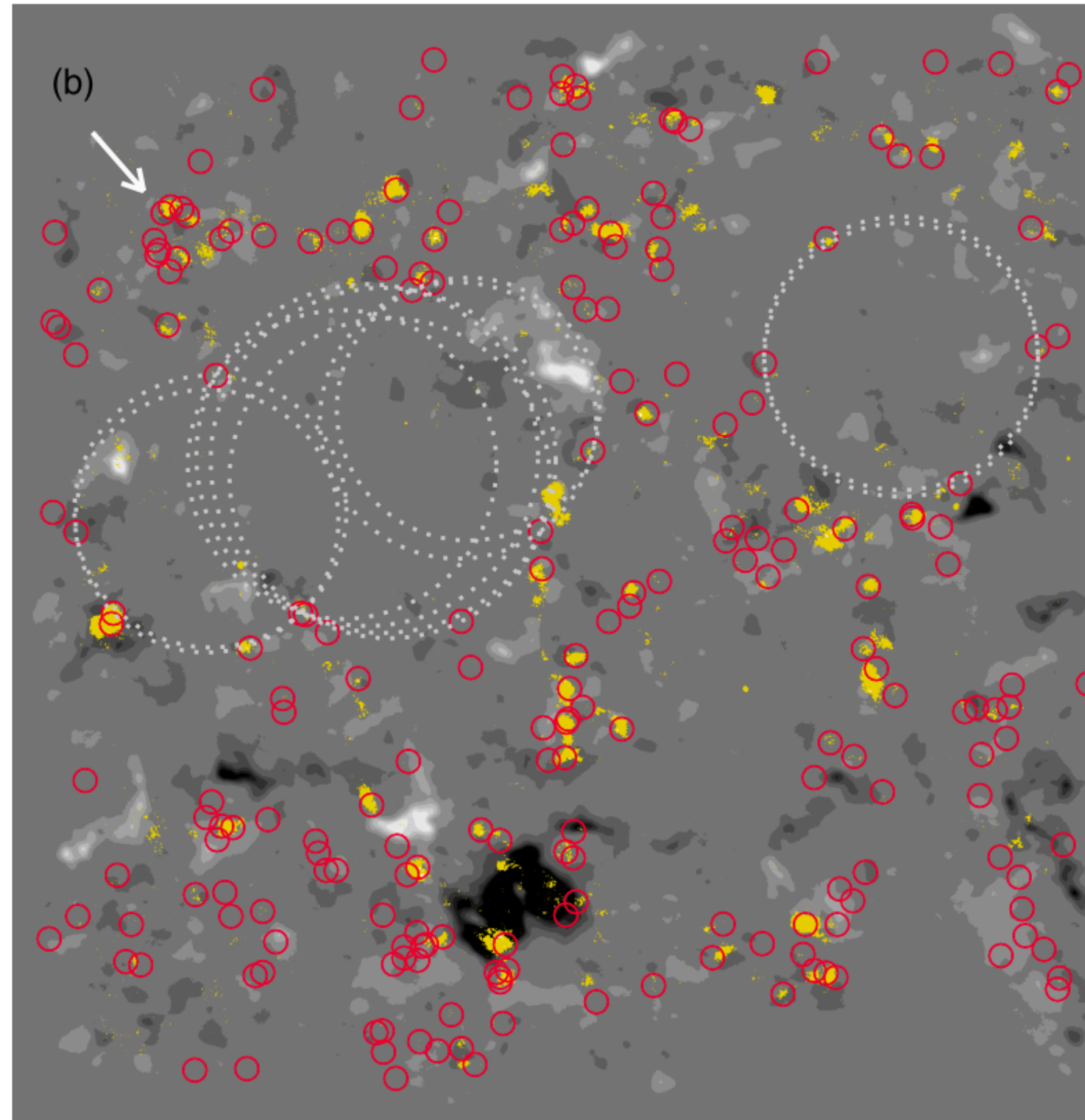
Martínez González & Bellot Rubio 2009

# Bipolarna i unipolarna internetwork magnetna polja

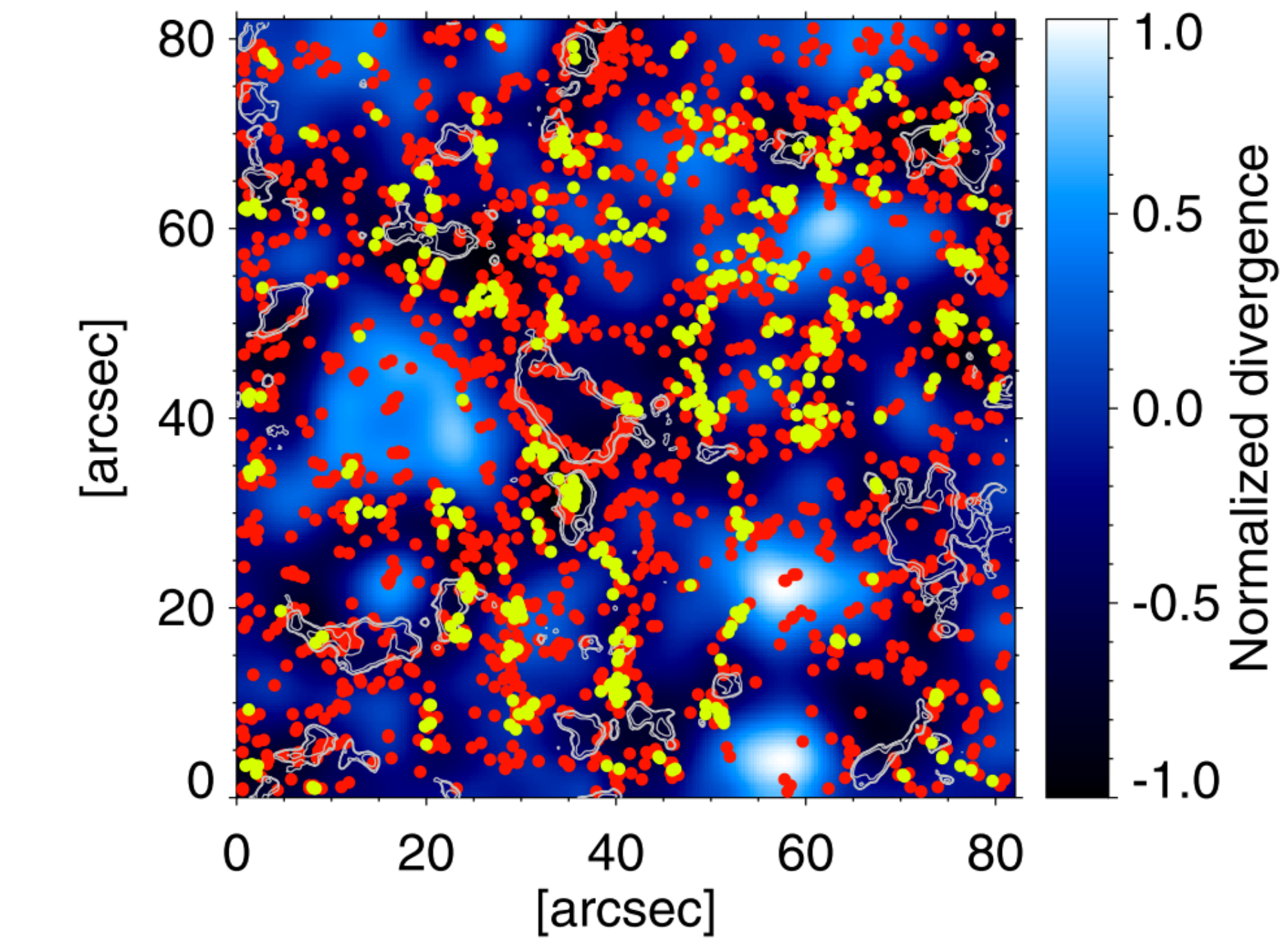


Martínez González et al. 2010

# Bipolarna i unipolarna internetwork magnetna polja

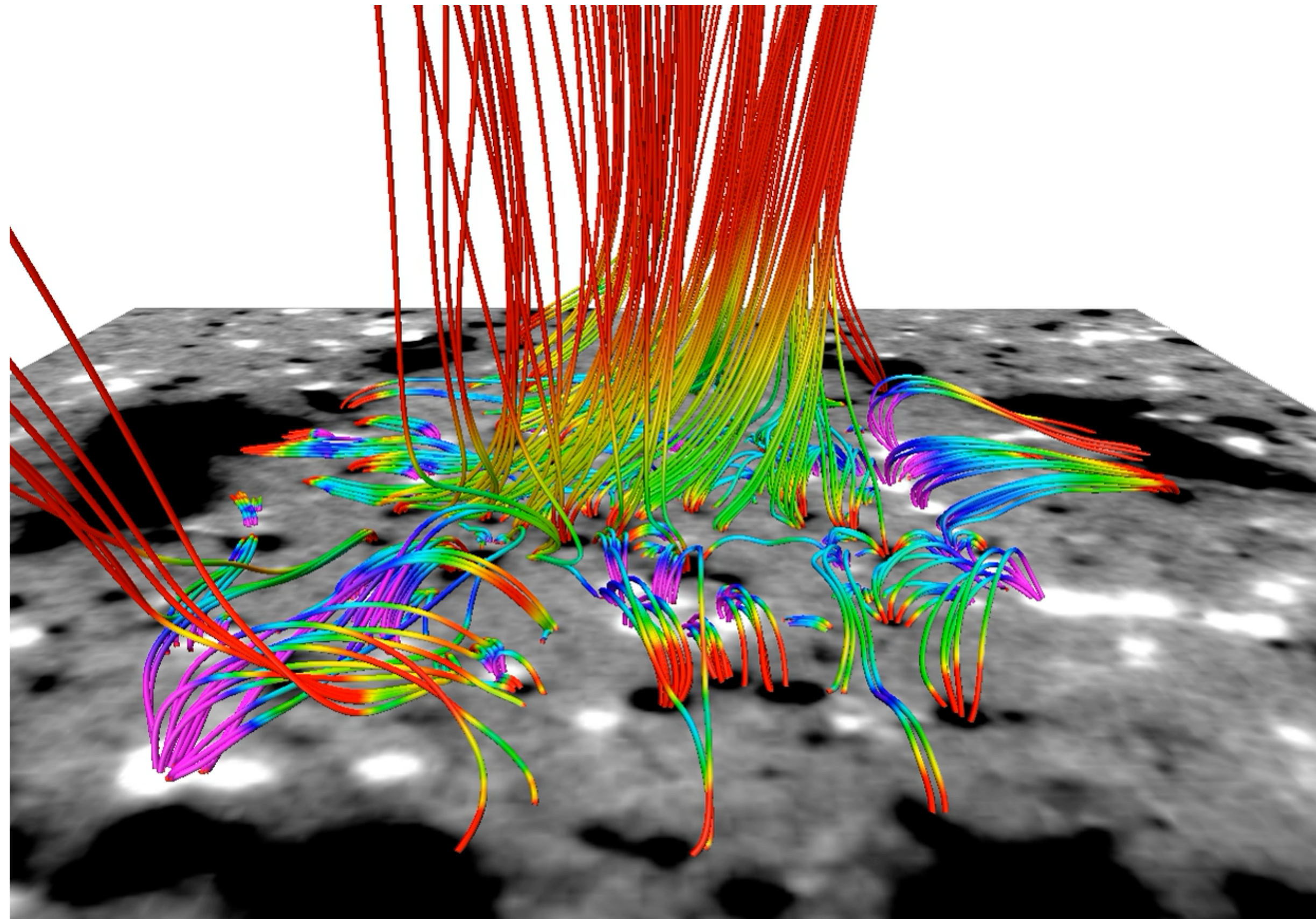


Martínez González et al. 2012



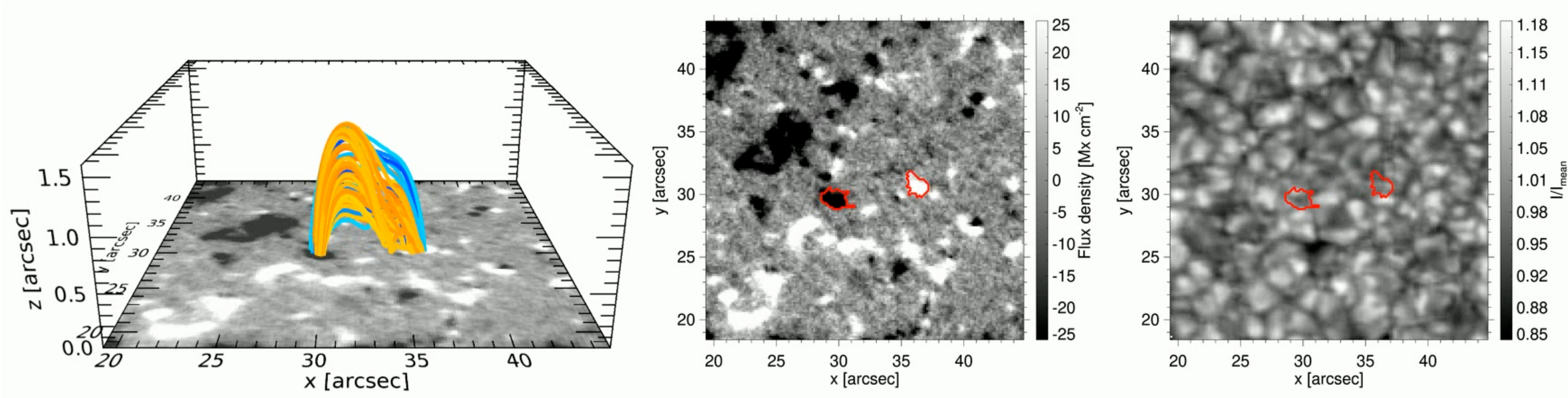
Stangalini 2014

# Bipolarna i unipolarna internetwork magnetna polja



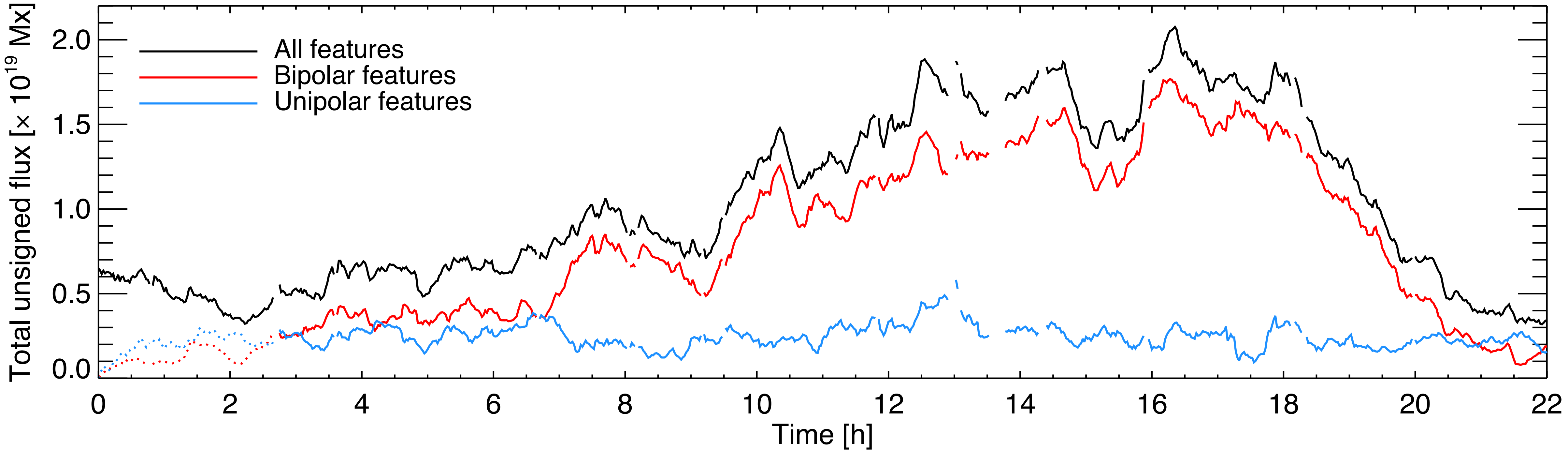
- Magnetni bipoli se pojavljuju manje-više uniformno unutar supergranula stopom od  $68 \text{ Mx cm}^{-2} \text{ day}^{-1}$ . Nova polja su verovatno formirana ispod površine Sunca, i doprinose 55% ukupne stope pojavljivanja fluksa.

# Bipolarna i unipolarna internetwork magnetna polja



- Primer identifikovanog magnetnog bipola. Levi panel prikazuje linije magnetnog polja koje povezuju polove bipola (model dobijen metodom magnetne frikcije). Srednji panel prikazuje magnetne elemente (polove, crvene konture) u NFI magnetogramu, a desni panel odgovarajuću mapu intenziteta.

# Bipolarna i unipolarna internetwork magnetna polja

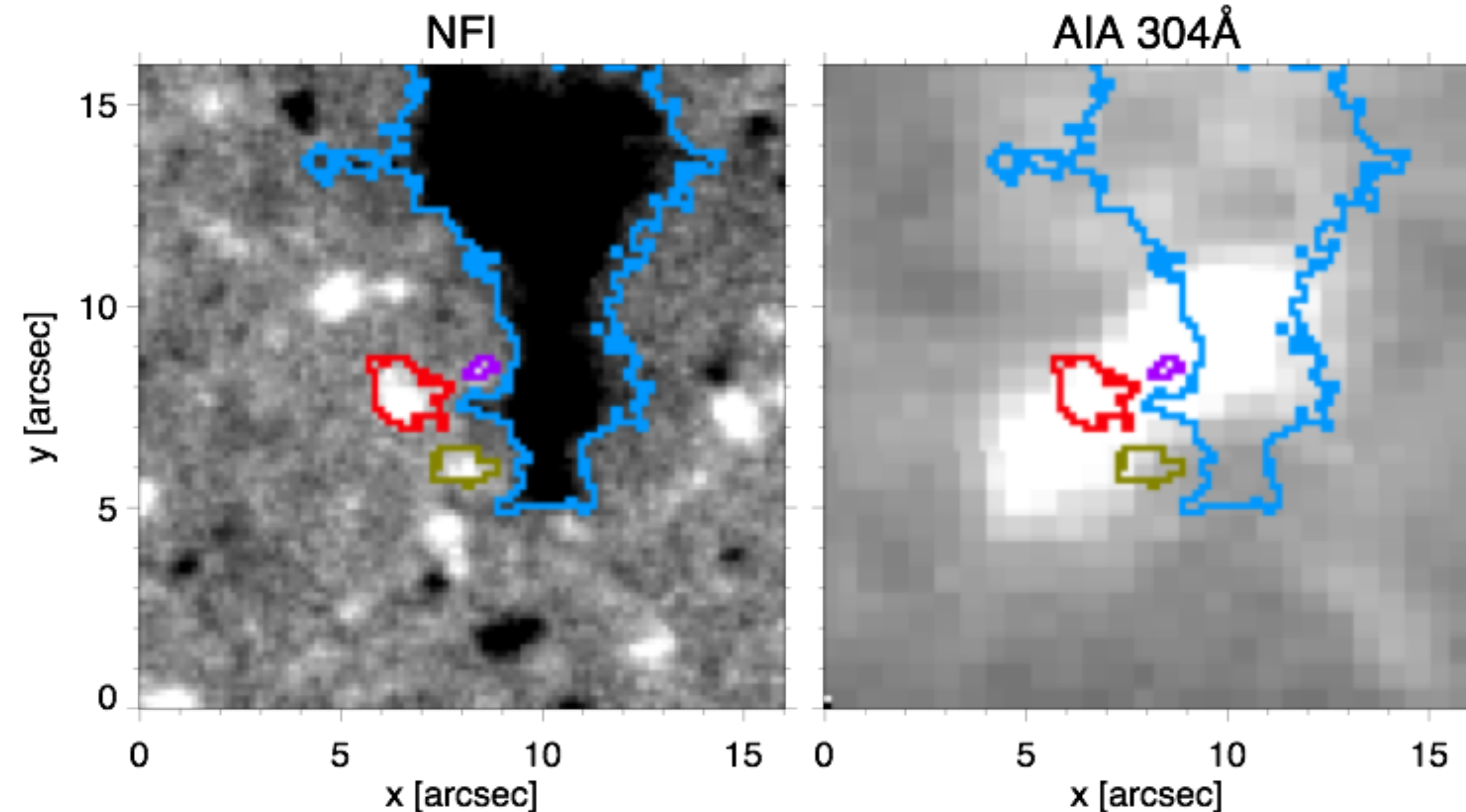


- U proseku, magnetni bipoli sadrže oko 72% ukupnog detektovanog IN fluksa. Primećeno je da ovaj udeo varira između 50% i 95% tokom vremena, a može pasti čak do 20%.

# Zagrevanje hromosfere

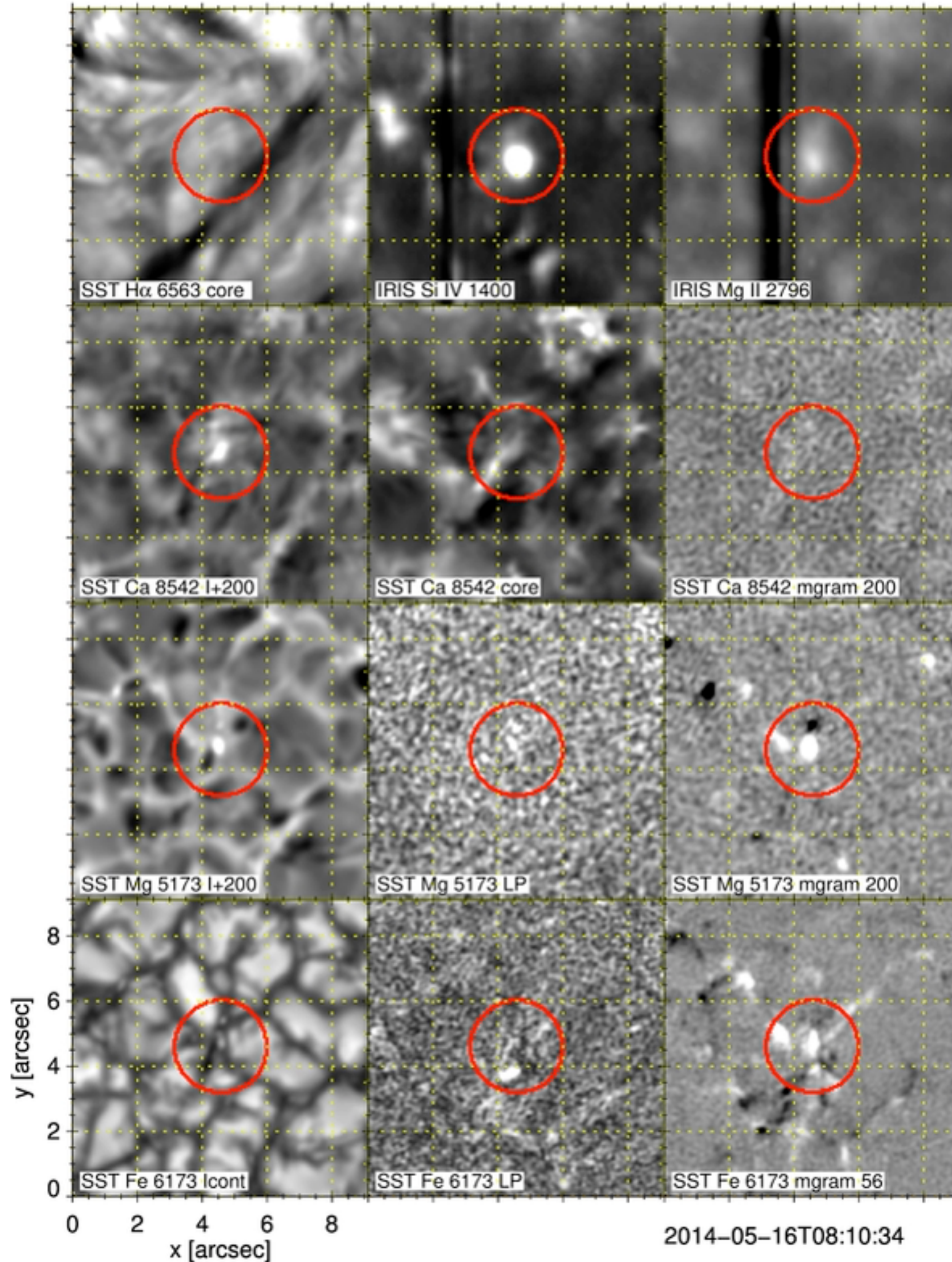
Zagrevanje Sunčeve atmosfere usled pojave novog IN magnetnog polja

# Zagrevanje hromosfere



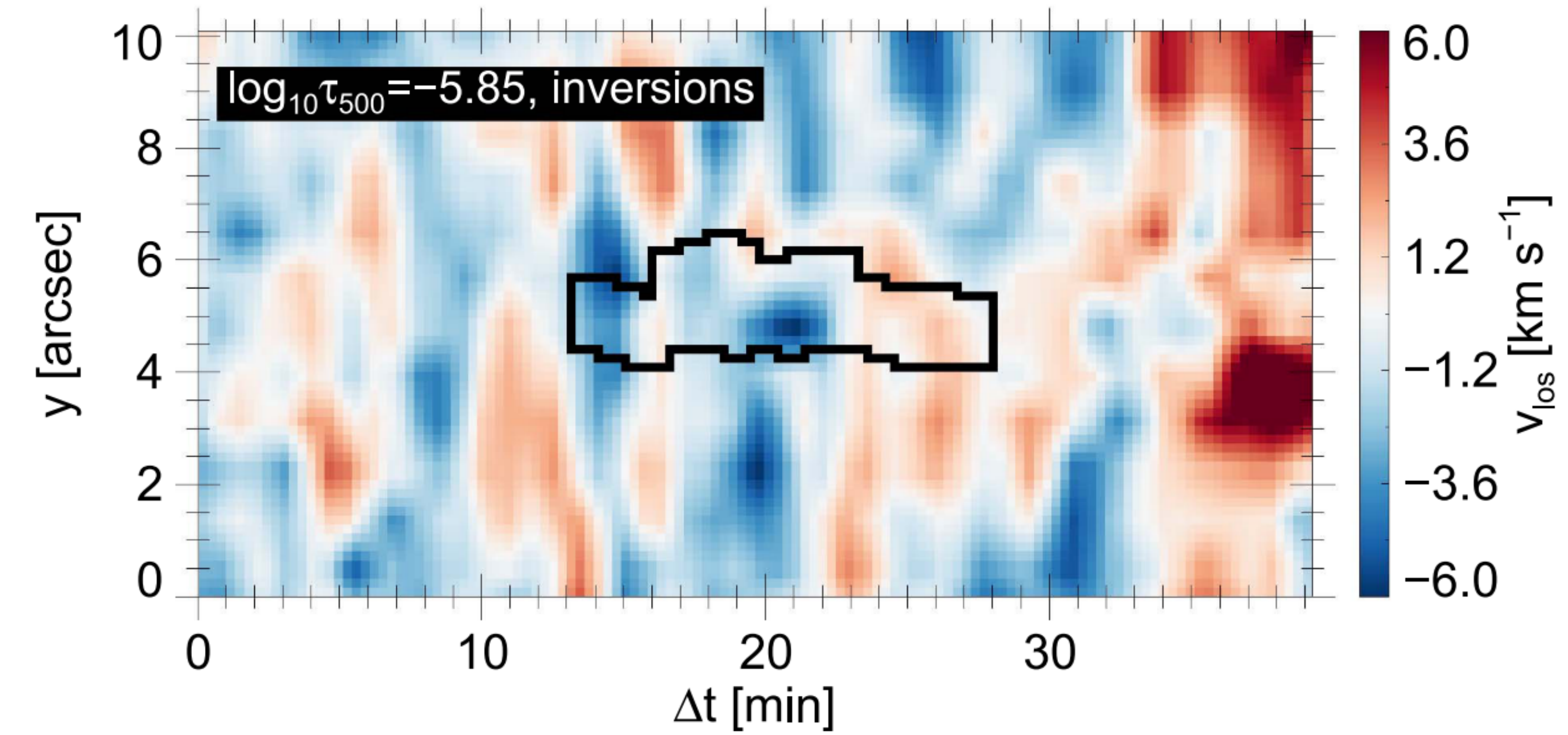
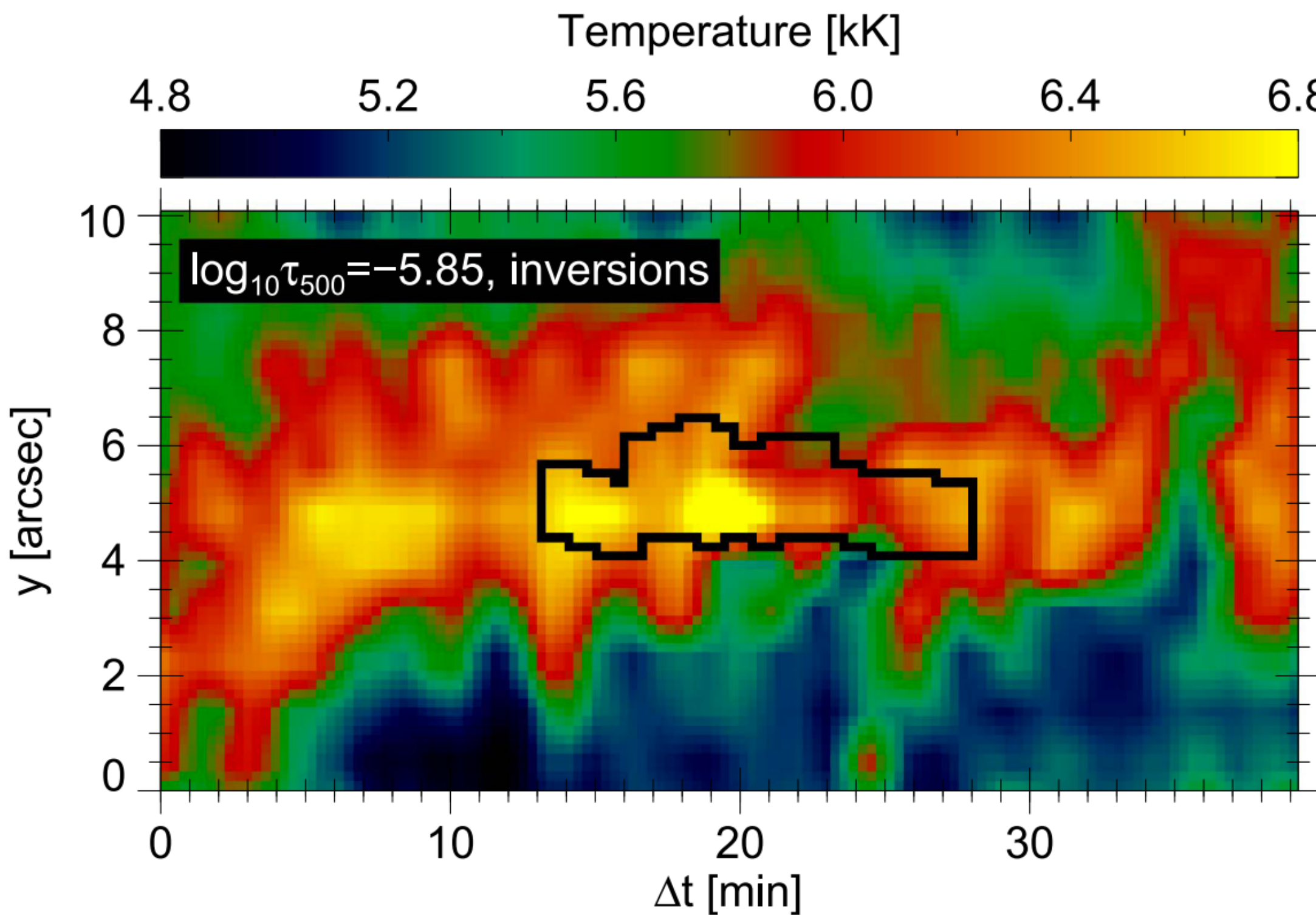
- Poništavanje IN i NE polja na granicama supergranularnih ćelija često dovodi do kratkotrajne emisije u EUV domenu (hromosfera i prelazni region).

# Zagrevanje hromosfere



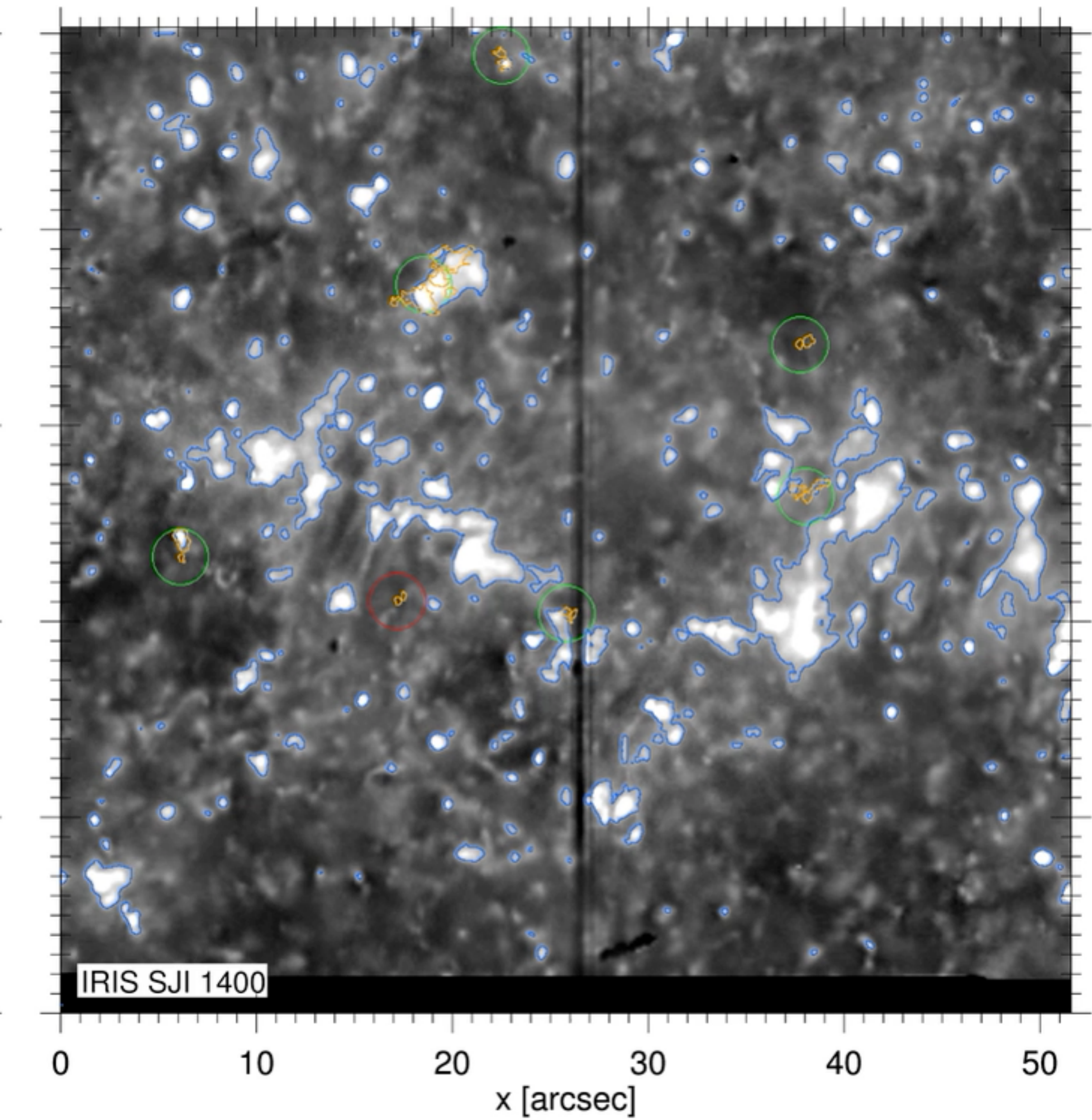
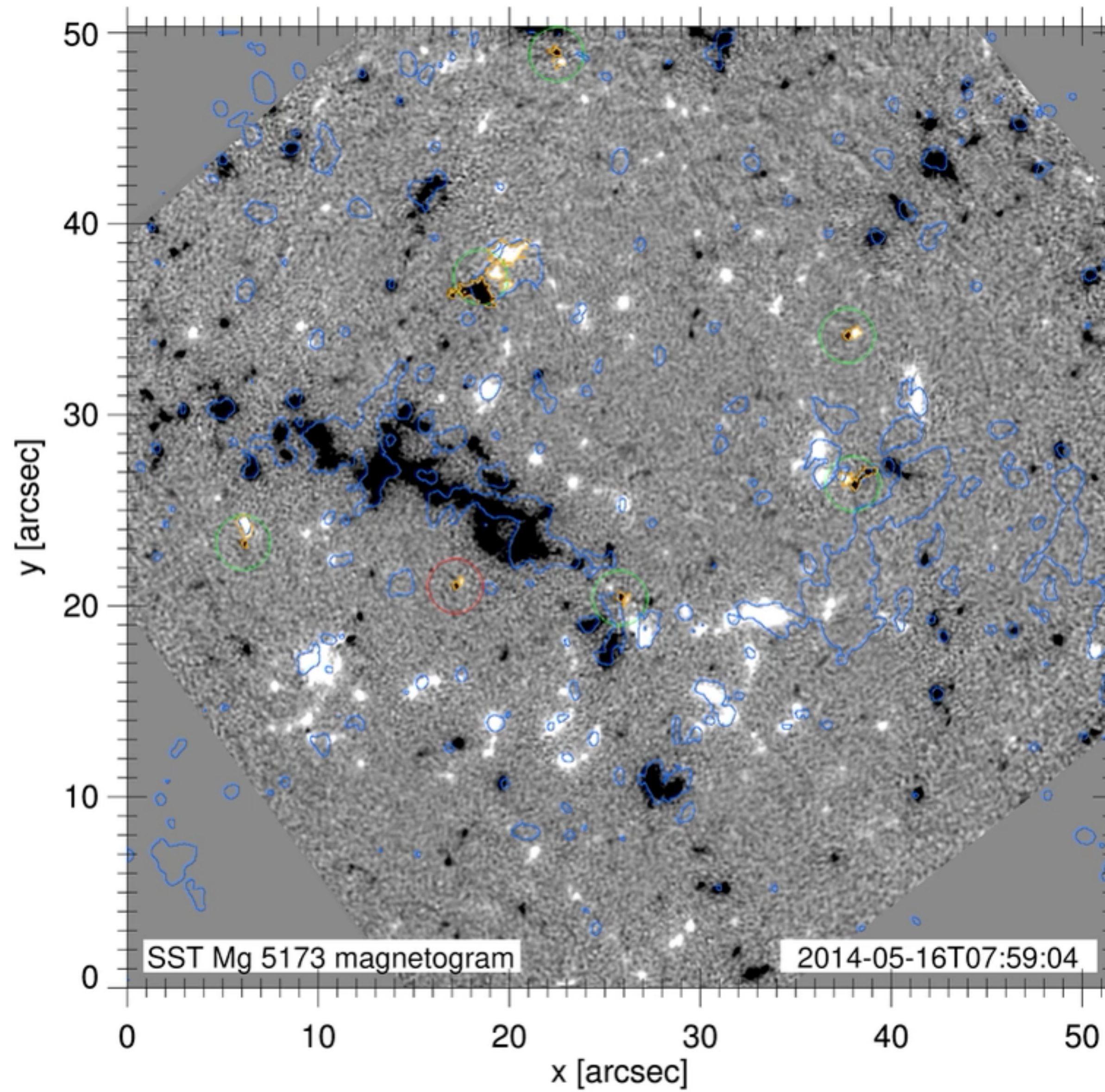
- Uticaj poništavanja IN fluksa na hromosferu, viđeno SST i IRIS posmatranjima.

# Zagrevanje hromosfere

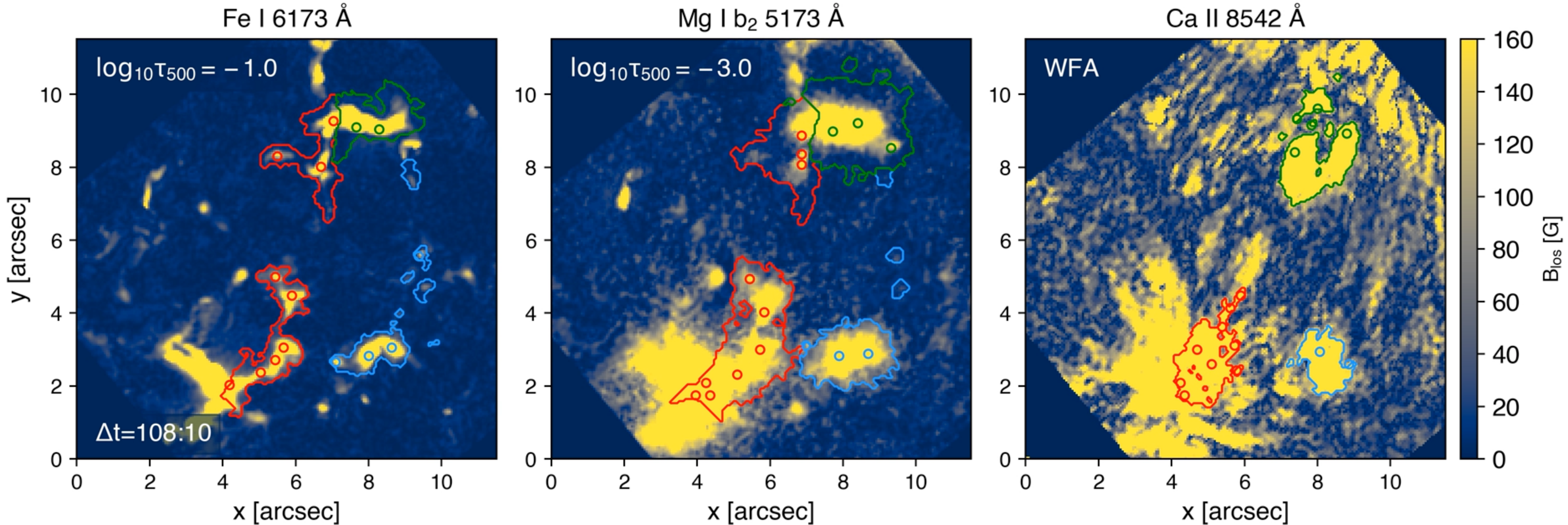


Inverzije IRIS hromosferskih podataka su izvedene korišćenjem STiC koda ([de la Cruz Rodríguez et al. 2016, 2018](#)).

# Zagrevanje hromosfere

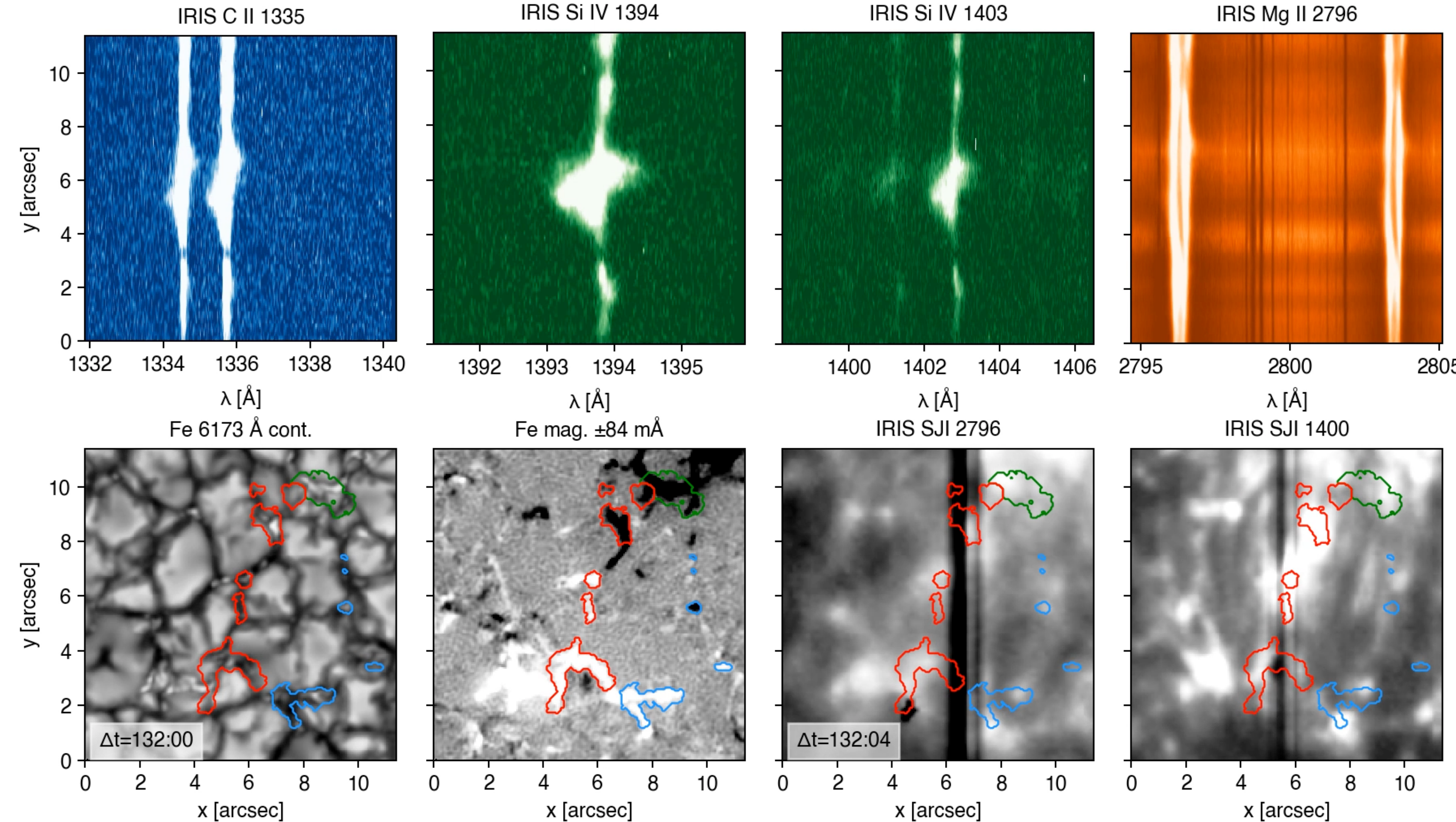


# IN magnetna polja u hromosferi



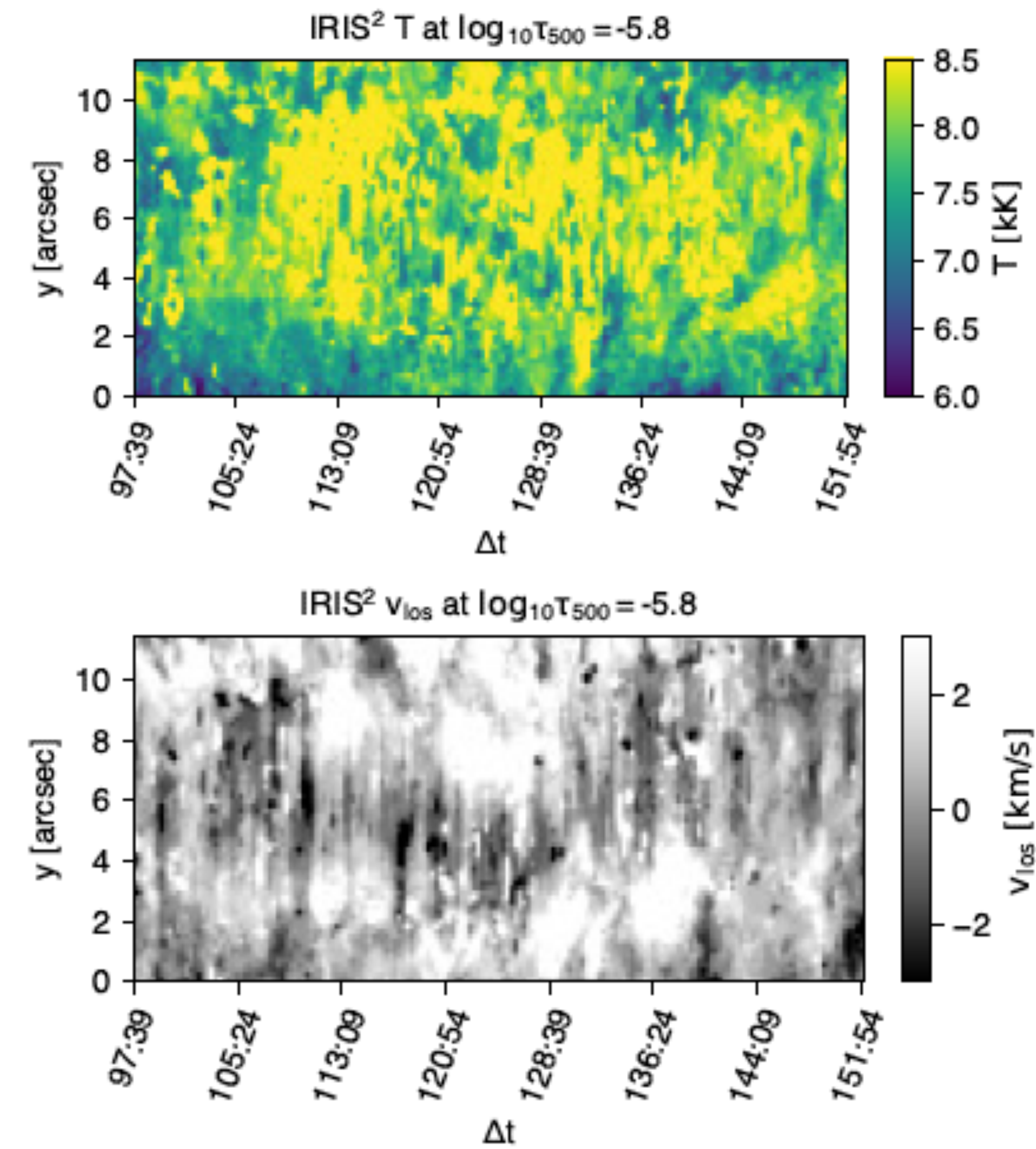
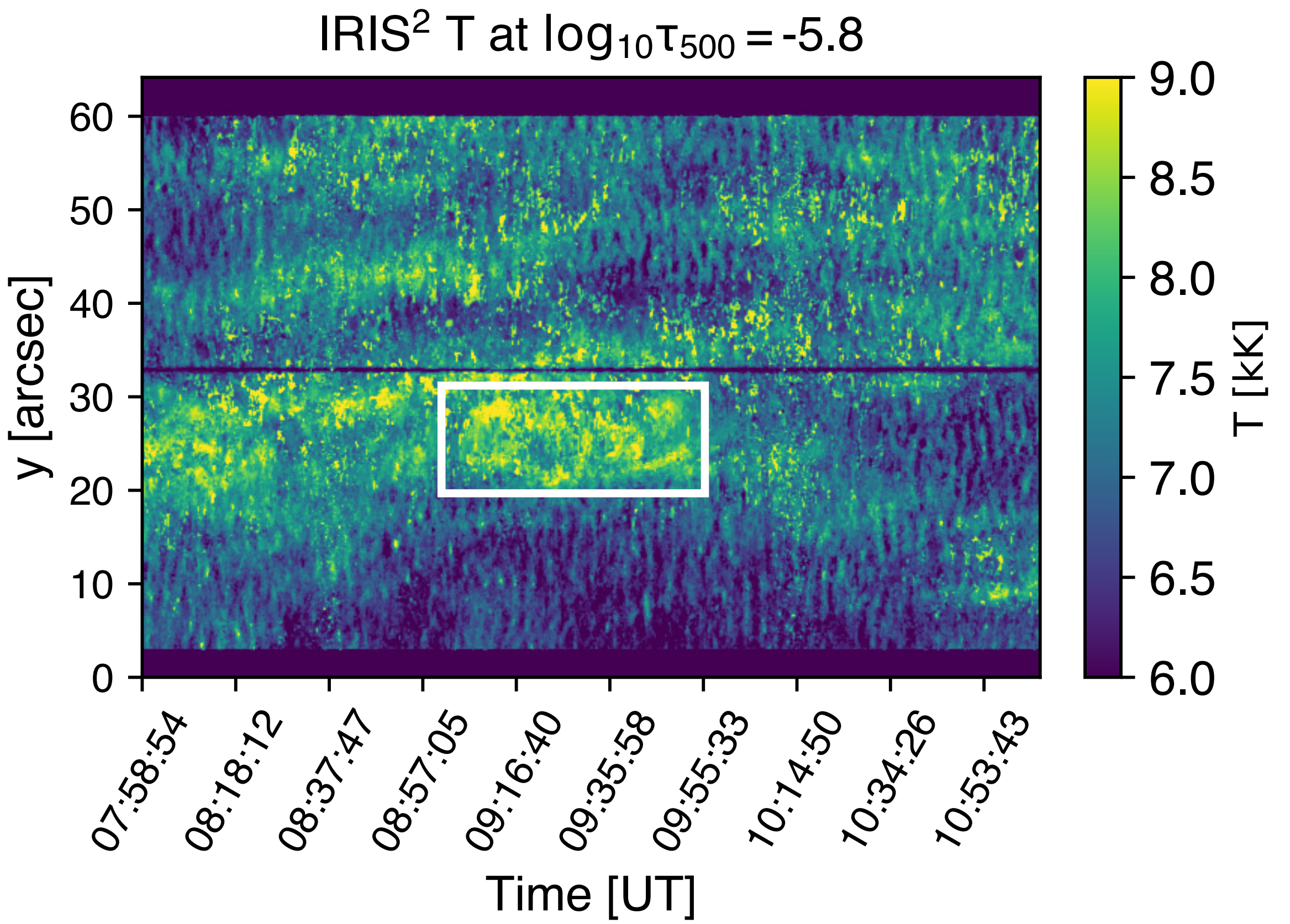
- IN magnetna polja jačine između 450 i 800 G mogu dospeti do hromosfere.

# IN magnetna polja u hromosferi



- Vremenska evolucija signala u IRIS FUV i NUV spektralnim domenima iznad novog klastera IN elemenata.

# IN magnetna polja u hromosferi

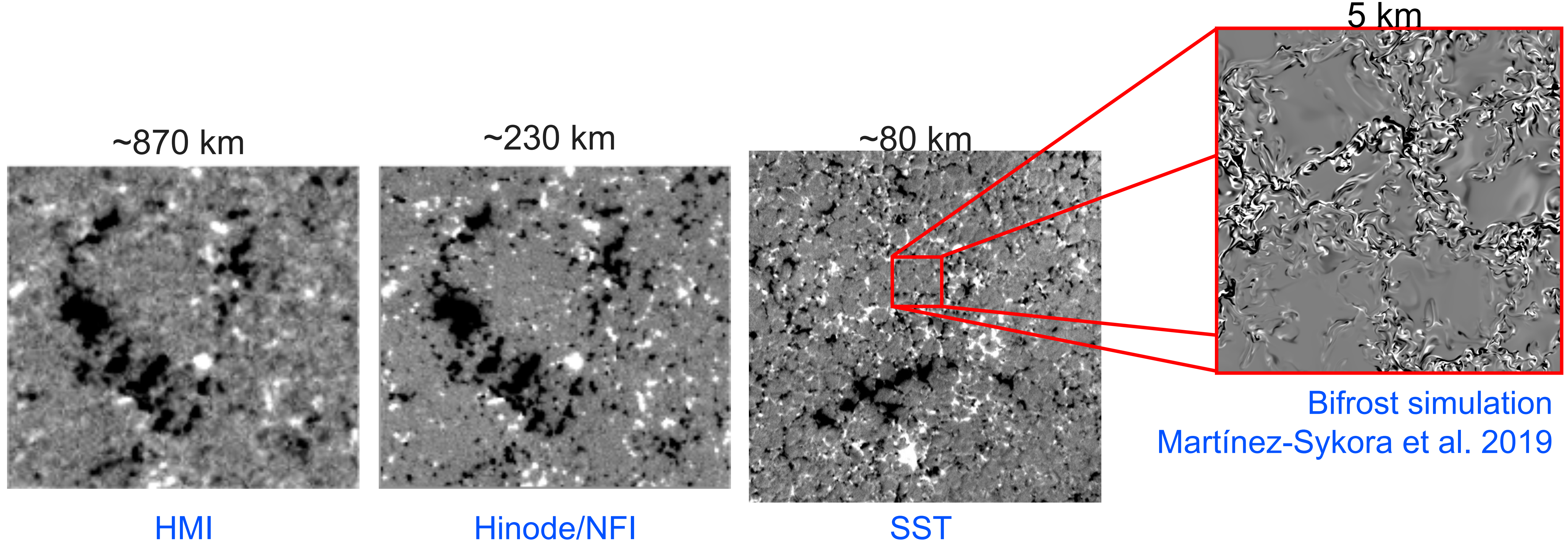


- Mape temperature i brzine u pravcu vizure dobijene IRIS<sup>2</sup> inverzijama ([Sainz Dalda et al. 2019](#)). Najviše temperature/brzine odgovaraju oblastima novonastalog fluksa (označeno belom konturom) i NE magnetnih elementima.

# Zahtevi za proučavanje magnetnih polja na mirnom Suncu

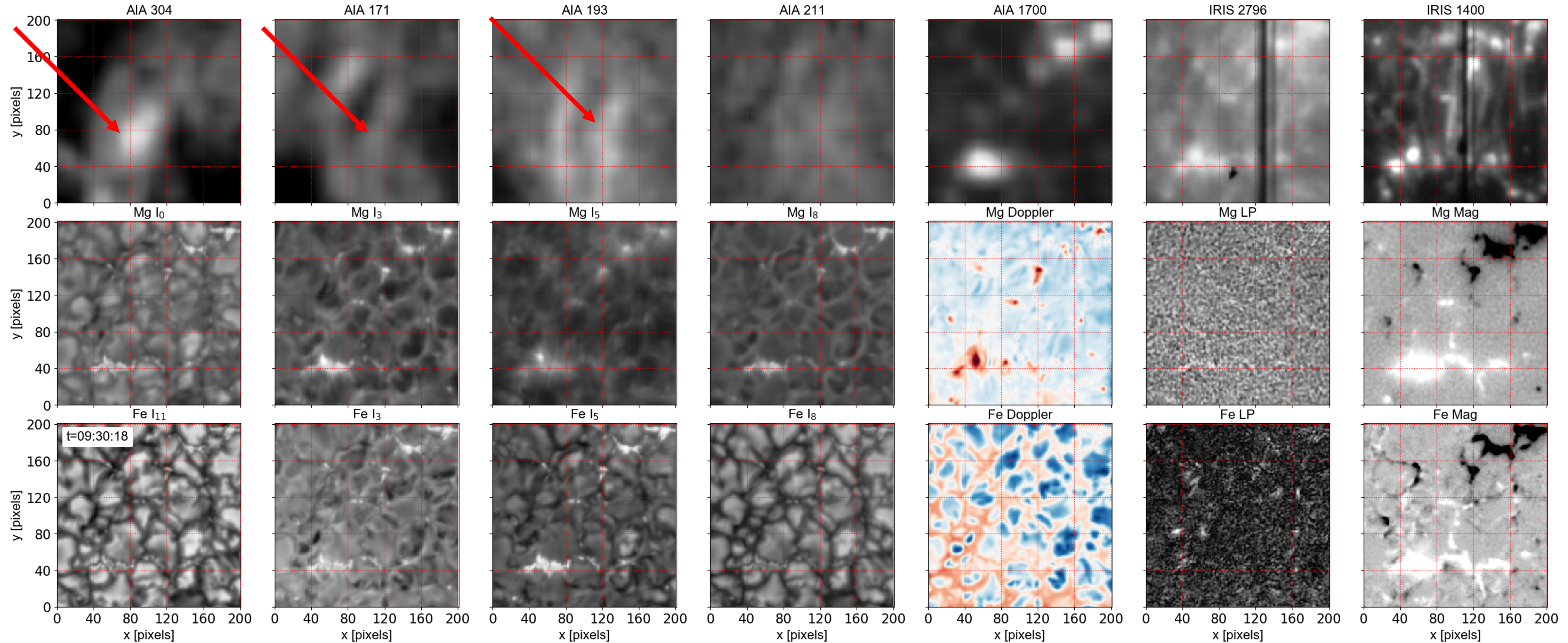
Očekivanja od solarnih teleskopa sledeće generacije

# Zahtevi za proučavanje magnetnih polja na mirnom Suncu



- Veća prostorna rezolucija za razlučivanje magnetnih struktura na mirnom Suncu
  - Prema simulacijama, možda će nam trebati čak i manje od  $\sim 35 \text{ km}$  (0,05 lučnih sekundi) da razlučimo najmanje magnetne elemente.

# Zahtevi za proučavanje magnetnih polja na mirnom Suncu

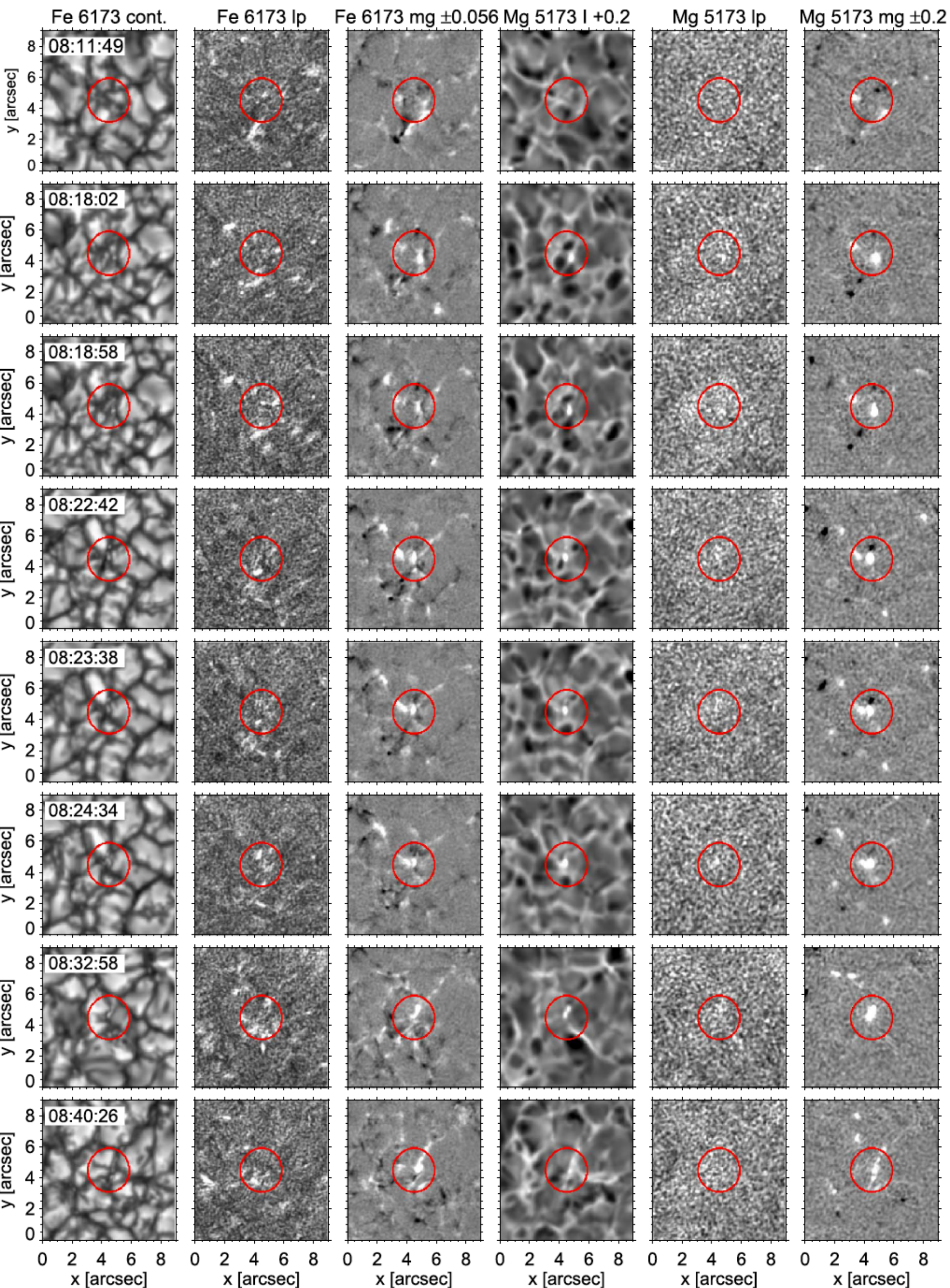


## • Veća prostorna rezolucija za razlučivanje magnetnih struktura na mirnom Suncu

- Prema simulacijama, možda će nam trebati čak i manje od ~35 km (0,05 lučnih sekundi) da razlučimo najmanje magnetne elemente.
- Nerazlučena fina struktura magnetnih polja u višim slojevima solarne atmosfere.

# Zahtevi za proučavanje magnetnih polja na mirnom Suncu

- Veća osetljivost instrumenata za precizna merenja Stoksovih parametara
  - Potreban nam je barem nivo šuma od  $10^{-4} I_c$ . Teleskopi od 4 metra mogu da postignu  $10^{-4} I_c$  pri rezoluciji od 0.1 lučnih sekundi i kadenci od 10 sekundi.

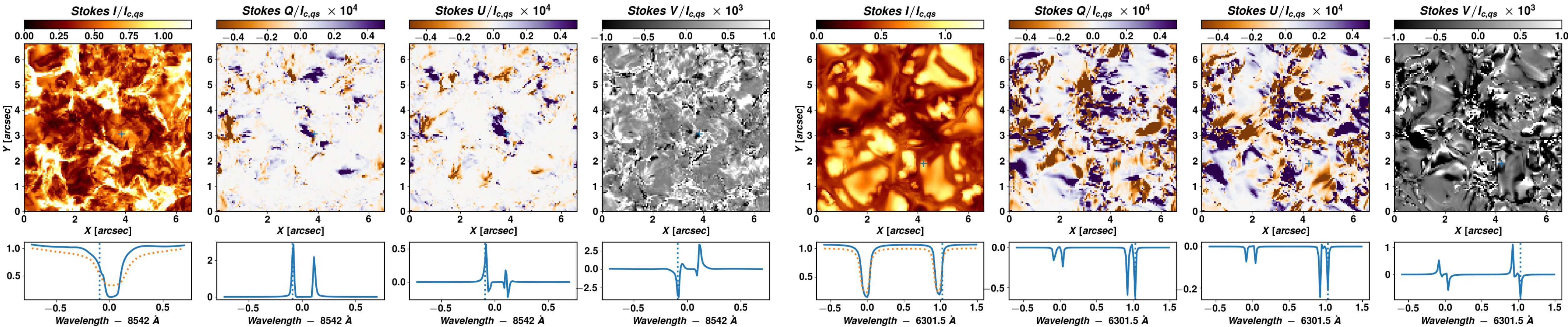


# Zahtevi za proučavanje magnetnih polja na mirnom Suncu

- Veća osetljivost instrumenata za precizna merenja Stoksovih parametara

- Potreban nam je barem nivo šuma od  $10^{-4} I_c$ . Teleskopi od 4 metra mogu da postignu  $10^{-4} I_c$  pri rezoluciji od 0.1 lučnih sekundi i kadenci od 10 sekundi.

Sainz Dalda et al. 2019



- Snimci iz Bifrost simulacije mirnog Sunca. Paneli pokazuju sintetičke I, Q, U i V profile u linijama Ca II 854,2 nm i Fe I 630,2 nm. Narandžasta isprekidana linija je prosečan Stokes I profil. Plave linije su Stokes profili na lokaciji označenoj plavim krstićem. Paneli pokazuju da bi DKIST sa svojom rezolucijom i osetljivošću trebalo da bude u stanju da detektuje IN signale kružne i linearne polarizacije u fotosferi i hromosferi.

- Interakcija između konvektivnih kretanja i IN magnetnih elemenata može pomoći zagrevanju hromosfere
- IN poništavanja lokalno zagrevaju hromosferu kroz rekonekciju linija magnetnog polja
- Novonastala IN magnetna polja mogu da se popnu do hromosfere i prelaznog regiona, i doprinesu zagrevanju gornjih slojeva solarne atmosfere

Instrumenti sledeće generacije (MUSE, DKIST, EST,...) su neophodni za detekciju IN polja na još manjim prostorno-vremenskim skalamama.